

บทที่ 2

ทฤษฎีเกี่ยวกับวิทยานิพนธ์

2.1 แผงวงจรอิเล็กทรอนิกส์

แผงวงจรอิเล็กทรอนิกส์เป็นส่วนประกอบพื้นฐานที่สำคัญของวงจรอิเล็กทรอนิกส์ ทำหน้าที่เป็นแผ่นยึดและเป็นทางเดินของสัญญาณไฟฟ้าระหว่างชิ้นส่วนอิเล็กทรอนิกส์ต่าง ๆ ที่ประกอบอยู่ในวงจรอิเล็กทรอนิกส์ แผงวงจรอิเล็กทรอนิกส์จะทำให้วงจรอิเล็กทรอนิกส์สามารถทำงานได้อย่างถูกต้องตามที่ออกแบบไว้ แผงวงจรอิเล็กทรอนิกส์จะประกอบไปด้วยแผ่นฐานหรือซัพเพรท (Substrate) เป็นแผ่นจำนวนมาก เช่น แผ่นไยแก้วอัดขึ้นกันด้วยอี้พ็อกซีเรซิโนร์หรือกระดาษไข่ฝ้ายอัดขึ้นกันด้วยฟินอลิกเรซิโนร์ แผ่นไยแก้วหรือกระดาษไข่ฝ้ายมีหน้าที่เสริมความแข็งแรงให้กับแผ่นซัพเพรท ส่วนพอลิเมอร์มีหน้าที่กระจายแรงและยึดแผ่นเสริมแรงไว้ด้วยกัน หน้าที่หลักของแผ่นซัพเพรท คือ รองรับแผ่นตัวนำที่ใช้เชื่อมสัญญาณไฟฟ้าระหว่างอุปกรณ์ แผ่นตัวนำไฟฟ้าที่นิยมคือ แผ่นทองแดง ในครั้งแรกตัวนำไฟฟ้าที่ใช้เชื่อมต่อสัญญาณไฟฟ้าจากหมึกที่เป็นตัวนำไฟฟ้าลากลงบนแผ่นซัพเพรท จึงทำให้เป็นที่มาของคำว่า Printed Circuit Board (PCB) แต่ปัจจุบันนิยมใช้แผ่นทองแดงบาง ยึดกับผิวหน้าของแผ่นซัพเพรทด้วยการเรียกว่า Metal Clad Laminate [6-7]

ประเภทของแผงวงจรอิเล็กทรอนิกส์มี 4 ประเภท ได้แก่

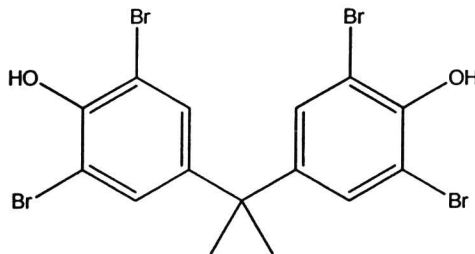
2.1.1 Single-Side Boards เป็นแผงวงจรอิเล็กทรอนิกส์ประเภทที่มีสายทองแดงหน้าเดียว ประกอบด้วยซัพเพรทและชั้นของแผ่นตัวนำเพียงด้านเดียว เป็นที่นิยมใช้กันทั่วไปที่มีความหนาของแผ่นวงจรไม่นักนัก ที่ใช้กันอยู่มาก คือ ฟินอลิกเรซิโนร์ อี้พ็อกซีเรซิโนร์ ซึ่งฟินอลิกจะมีราคาถูกกว่า แต่มีข้อเสียคือ ประภะ มีความแข็งแรงต่ำ และมีความต้านทานความชื้นต่ำ ทำให้สูญเสียความเป็นทนทานได้ง่าย จึงไม่เหมาะสมกับการใช้งานที่มีความหนาแน่นของความถี่สูง ๆ

2.1.2 Double-Sided Boards เป็นแผงวงจรอิเล็กทรอนิกส์ชนิดที่มีสายทองแดงสองด้าน ประกอบด้วยชั้นของแผ่นตัวนำสองด้าน คือ ด้านบนและด้านล่างประกอบกับชั้นซัพเพรท วัสดุที่นิยมน้ำมันใช้ คือ แผ่นไยแก้วกับอี้พ็อกซีเรซิโนร์ แผงวงจรอิเล็กทรอนิกส์ลักษณะนี้เหมาะสมสำหรับงานที่มีความหนาแน่นของความถี่ปานกลางถึงความถี่สูงและยังสามารถใช้วิธีการ Plat Through Hole (PTH) เพื่อให้เส้นทั้งสองเชื่อมต่อกันได้

2.1.3 Multi-Layer Boards เป็นแพลงวจรอิเล็กทรอนิกส์ชนิดที่มีลายทองแดงหลาย ๆ ชั้น แพลงวจรอิเล็กทรอนิกส์ชนิดนี้ ประกอบด้วยชั้นของแผ่นตัวนำและซัพเตอร์มากกว่าสองชั้นขึ้นไป โดยการอัดชั้นต่าง ๆ เข้าหากันด้วยความร้อนและเครื่องอัดแรงคันสูง หมายเหตุสำหรับงานที่มีความหนาแน่นของความถี่สูงถึงสูงมาก

2.1.4 Flexible Circuit PCB เป็นแพลงวจรอิเล็กทรอนิกส์ชนิดอ่อน หมายเหตุสำหรับใช้งานที่ต้องมีการเคลื่อนไหวอยู่ตลอดเวลา ได้แก่ แพลงวจรอิเล็กทรอนิกส์ที่ใช้ในการเชื่อมต่อฮาร์ดดิสก์ที่มีการเคลื่อนไหวอยู่ตลอดเวลา

แพลงวจรอิเล็กทรอนิกส์ที่นิยมใช้อีพ็อกซี่เรซินเป็นส่วนประกอบมี 4 ชนิด ได้แก่ FR-3 FR-4 CEM-2 CEM-3 และ CEM-4 แพลงวจรอิเล็กทรอนิกส์ที่นิยมใช้งานมากที่สุด คือ แพลงวจรอิเล็กทรอนิกส์ชนิด FR-4 ใช้อีพ็อกซี่เรซินผสมสารหน่วงการติดไฟชนิด Tetrabromobisphenol A ดังแสดงในภาพที่ 2-1



ภาพที่ 2-1 โครงสร้างทางเคมีของ Tetrabromobisphenol A

มีหน้าที่ยึดแผ่นไข้เก็บسانไว้ด้วยกัน แผ่นไข้เก็บسانเป็นไข้เก็บชนิด E-Glass Fiber ทำหน้าเพิ่มความแข็งแรงให้แพลงวจรอิเล็กทรอนิกส์และนิยมใช้ (DICY) เป็นสารเชื่อมระหว่างสำหรับแพลงวจรอิเล็กทรอนิกส์ แพลงวจรอิเล็กทรอนิกส์ที่มีอีพ็อกซี่เรซินเป็นส่วนประกอบ ดังแสดงในตารางที่ 2-1

ตารางที่ 2-1 องค์ประกอบของแพลงวจรอิเล็กทรอนิกส์ที่ใช้อีพ็อกซี่เรซินเป็นส่วนประกอบ [7]

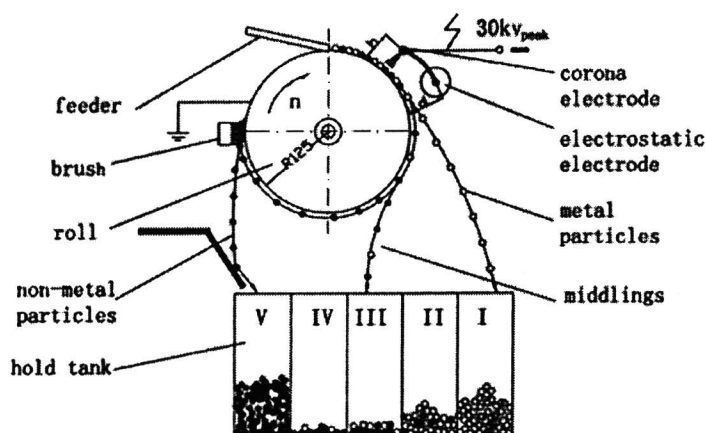
ชนิด	วัสดุเสริมแรง	พอลิเมอร์	สารหน่วงการติดไฟ
FR-3	กระดาษไข้ฝ้าย	อีพ็อกซี่เรซิน	มี
FR-4	แผ่นเส้นไข้เก็บسان	อีพ็อกซี่เรซิน	มี
CEM-2	กระดาษไข้ฝ้าย/แผ่นไข้เก็บسان	อีพ็อกซี่เรซิน	ไม่มี
CEM-3	แผ่นไข้เก็บسان/แผ่นไข้เก็บอัด	อีพ็อกซี่เรซิน	มี
CEM-4	แผ่นไข้เก็บسان/แผ่นไข้เก็บอัด	อีพ็อกซี่เรซิน	ไม่มี

2.2 การรีไซเคิลแพลงวัจรอิเล็กทรอนิกส์

ในปีพ.ศ. 2546 กรมควบคุมมลพิษได้มีการสำรวจปริมาณของผลิตภัณฑ์อิเล็กทรอนิกส์ที่เกิดขึ้น มีประมาณ 1,700,000 ชิ้น หรือคิดเป็นปริมาณ 58,000 ตัน ซึ่งมาจากผลิตภัณฑ์อิเล็กทรอนิกส์ที่ดำเนินการสำรวจส่วนใหญ่สามารถดูแลได้ แต่ก็ยังมีบางส่วนของผลิตภัณฑ์อิเล็กทรอนิกส์อีกจำนวนมากที่คาดว่าถูกทิ้งรวมไปกับขยะมูลฝอยทั่วไป โดยมาจากผลิตภัณฑ์อิเล็กทรอนิกส์มีแพลงวัจรอิเล็กทรอนิกส์เป็นส่วนประกอบหลัก

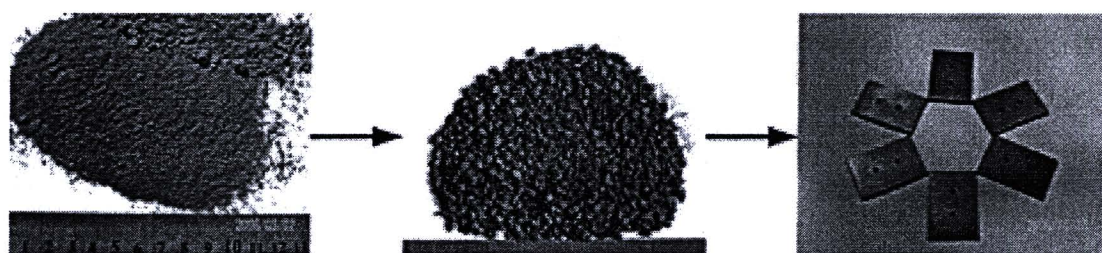
การรีไซเคิลแพลงวัจรอิเล็กทรอนิกส์สามารถแบ่งออกเป็น 3 วิธีหลัก ๆ ได้แก่ การรีไซเคิลด้วยวิธีทางกล การรีไซเคิลด้วยวิธีทางความร้อน และการรีไซเคิลด้วยวิธีทางเคมี [8]

การรีไซเคิลด้วยวิธีทางกลเป็นวิธีเบื้องต้นที่ง่ายที่สุด คือ การคัดแยกชิ้นส่วนและจัดลำดับตามความบริสุทธิ์ของสารหรือชิ้นส่วนที่ต้องการ เช่น IC สายไฟ เหล็กและพลาสติก เพื่อนำชิ้นส่วนกลับมาใช้ใหม่ เริ่มจากการเตรียมแพลงวัจรอิเล็กทรอนิกส์ให้มีขนาดเล็กลงและแยกโลหะออกจากกัน การเตรียมแพลงวัจรอิเล็กทรอนิกส์ให้มีขนาดเล็กลงแบ่งออกเป็น 2 ขั้นตอน ได้แก่ การลดขนาดของแพลงวัจรอิเล็กทรอนิกส์ด้วยเครื่องฉีก เป็นการลดขนาดแพลงวัจรอิเล็กทรอนิกส์แบบหยาบ หลังจากนั้นนำแพลงวัจรอิเล็กทรอนิกส์ที่ผ่านเครื่องฉีกเข้าเครื่องบด เพื่อทำให้ลักษณะของแพลงวัจรอิเล็กทรอนิกส์เป็นผง เครื่องมือที่ใช้แยกชนิดของโลหะออกจากส่วนที่ไม่ใช่โลหะ คือ Corona Electrostatic Separation ดังแสดงในภาพที่ 2-2 เป็นเทคนิคการแยกโลหะแต่ละชนิดและส่วนที่ไม่ใช่โลหะออกจากกัน โดยอาศัยหลักการเหนี่ยวแน่นของสนามแม่เหล็กและความหนาแน่นของโลหะ

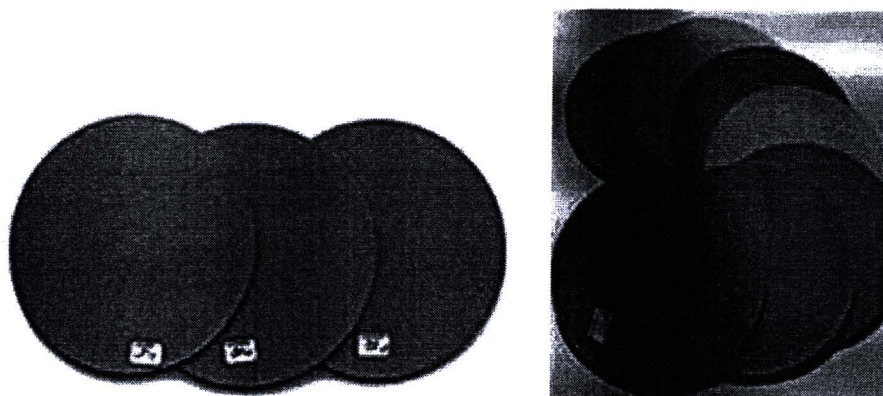


ภาพที่ 2-2 องค์ประกอบของเครื่อง Corona Electrostatic Separation [9]

ผงของพอลิเมอร์ที่ได้จากแพลงวัจรอิเล็กทรอนิกส์สามารถนำมาผสมกับเรซินใหม่ในลักษณะของสารตัวเติม ดังแสดงในภาพที่ 2-3 พอลิเมอร์ที่ไดจากการรีไซเคิลทางกลจะนำไปผสมกับเรซินใหม่ และอัดขึ้นรูปเป็นชิ้นงานในรูปแบบต่าง ๆ ตามต้องการหรืออัดขึ้นรูปพอลิเมอร์เป็นแผ่นสำหรับเสริมแรง [8, 10-12] ดังแสดงในภาพที่ 2-4 แต่ปัญหาที่เกิดขึ้นระหว่างการรีไซเคิลคือวิธีทางกล คือ กลิ่นของแพลงวัจรอิเล็กทรอนิกส์ ฝุ่น และเสียงดังของเครื่องมือที่ใช้ในการบด



ภาพที่ 2-3 พอลิเมอร์ที่ไดจากการรีไซเคิลทางกลโดยผสมกับเรซินใหม่ [10]



ภาพที่ 2-4 แผ่นพอลิเมอร์ที่ไดจากการรีไซเคิลทางกลโดยการอัดขึ้นรูป[1, 5]

การรีไซเคิลคัวบวิธีทางความร้อนเป็นวิธีการรีไซเคิลที่ง่ายที่สุดในการแยกโลหะออกจากแพลงวัจรอิเล็กทรอนิกส์และสามารถนำพลังงานความร้อนจากการเผาใหม่มาใช้ประโยชน์ได้เนื่องจากพอลิเมอร์เป็นสารที่ได้จากอุตสาหกรรมปิโตรเคมี มีโครงสร้างไม่เลกุลิกัดคายกับน้ำมัน การรีไซเคิลพอลิเมอร์คัวบวิธีทางความร้อนจึงได้พลังงานความร้อนสูง เทียบเท่าถ่านหิน [8] แต่ปัญหาที่เกิดขึ้นระหว่างการรีไซเคิลคัวบวิธีทางความร้อน คือ เกิดผลเสียต่อสภาพแวดล้อม เป็นมลพิษทางอากาศอย่างมากและใช้เงินลงทุนในการจัดการระบบทางด้านสิ่งแวดล้อมสูงมาก

การรีไซเคิลคัวบวิธีทางเคมีสามารถแบ่งเป็น 2 ส่วน ได้แก่ โลหะและพอลิเมอร์ การรีไซเคิลโลหะเริ่มจากการนำโลหะที่ไดจากการรีไซเคิลแพลงวัจรอิเล็กทรอนิกส์ผ่านกระบวนการคืนสภาพ

(Recovery) ให้เป็นโลหะบริสุทธิ์ เช่น การคืนสภาพตะกั่วออกไซด์ด้วยคาร์บอน พลวง สารหนู และดีบุก ดังแสดงในสมการที่ (2-1) ถึง (2-4)



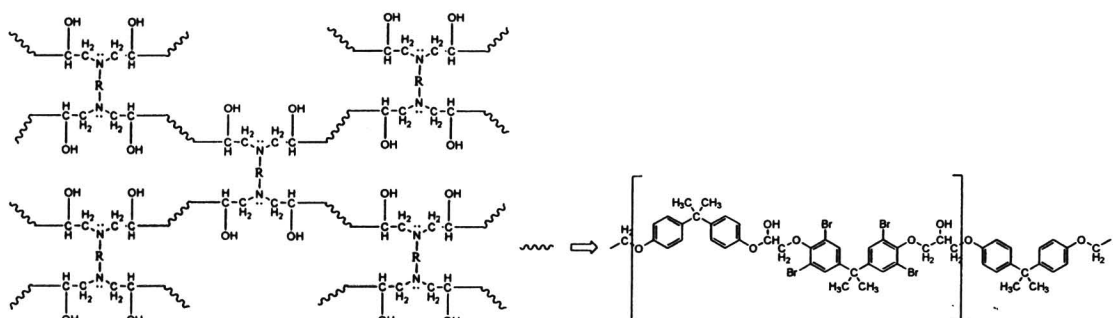
การคืนสภาพทองแดงออกไซด์ด้วยคาร์บอนและเหล็ก ดังแสดงในสมการที่ (2-5) และ (2-6)



เงิน ทอง และแพลเลเดียม สามารถทำให้บริสุทธิ์ได้ด้วยวิธีอิเล็กโทรไลซิส (Electrolysis) โดยการหลอมโลหะให้เป็นของไหหล่อแล้วจึงแยกด้วยข้าวไฟฟ้า [8] การรีไซเคิลของส่วนที่ไม่ใช่โลหะสามารถรีไซเคิลด้วยสารละลายกรด [13,14] หรือตัวทำละลาย [15-19] ปัญหาที่เกิดขึ้นระหว่างการรีไซเคิล ด้วยวิธีทางเคมี คือ เกิดผลเสียต่อสิ่งแวดล้อมสูงมากและราคาของเครื่องมือที่ใช้ในการบำบัดน้ำเสีย มีราคาสูง

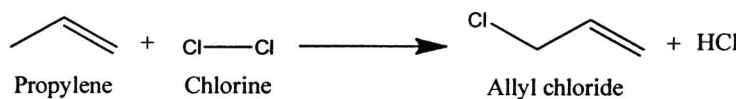
2.3 อีพ็อกซีเรซิน

อีพ็อกซีเรซิโนจัดเป็นพอลีอีเทอร์ แต่เนื่องจากมีหมู่อีพ็อกไซด์อยู่ในโมเลกุลจึงเรียกว่า อีพ็อกซี อีพ็อกซีเรซิโนเป็นพอลิเมอร์ประเภทเทอร์โมเซ็ตติ้ง เกิดปฏิกิริยาพอลิเมอไรเซชันแบบโครงร่างตาข่ายสามมิติ (3D-Network Polymerization) ดังแสดงในภาพที่ 2-5



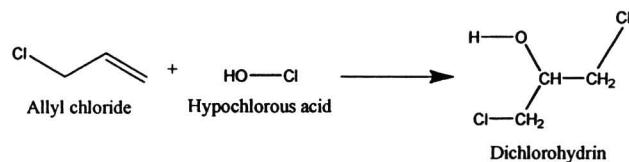
ภาพที่ 2-5 การเกิดปฏิกิริยาพอลิเมอไรเซชันแบบโครงร่างตาข่ายของอีพ็อกซีเรซิโน

อีพ็อกซี่เรซินมีสมบัติเชิงกลและสมบัติทางเคมีที่ดี เช่น ทนต่อแรงดึงและแรงดัน โถง คุณภาพชั้นต่ำ รูปร่างคงที่ การหดตัวต่ำ ทนอุณหภูมิสูง ด้านการนำไปใช้ ทนต่อสารเคมี [20-22] สำหรับการใช้งานของอีพ็อกซี่เรซินจะต้องผสมกันระหว่างสาร 2 ชนิด ได้แก่ Diglycidylether of Bisphenol A กับสารเชื่อมขาว การเตรียม Diglycidylether of Bisphenol A สามารถเตรียมได้จากปฏิกิริยาระหว่าง Epichlorohydrin กับ Bisphenol A และ Epichlorohydrin สามารถเตรียมได้จากปฏิกิริยาระหว่าง แอลลิคลอไรด์ (Allyl chloride) กับกรดไฮโปคลอรัส (Hypochlorous acid) ทำปฏิกิริยาเคมีกันที่ อุณหภูมิประมาณ 30 องศาเซลเซียส โดยเตรียมแอลลิคลอไรด์จากการคลอรีเนชัน (Chlorination) ของโพรพิลีน (Propylene) กับคลอรีน (Chlorine) ใช้อุณหภูมิประมาณ 500 องศาเซลเซียส ความดัน 2 atm. ดังแสดงในภาพที่ 2-6



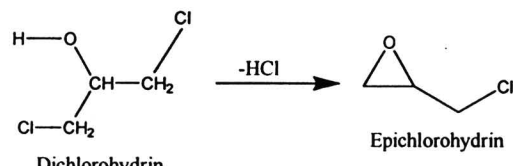
ภาพที่ 2-6 ปฏิกิริยาเคมีการเตรียมแอลลิคลอไรด์จากโพรพิลีนกับคลอรีน

เมื่อได้แอลลิคลอไรด์แล้วนำไปทำปฏิกิริยาต่อ กับกรดไฮโปคลอรัส ได้เป็น Dichlorohydrin ดังแสดงในภาพที่ 2-7



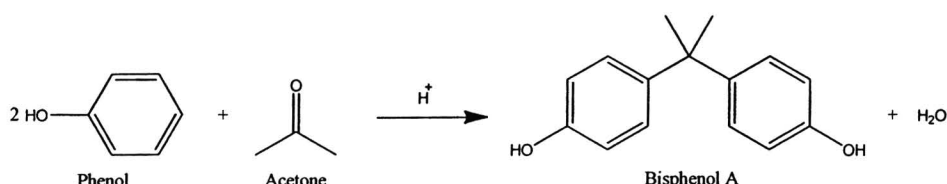
ภาพที่ 2-7 ปฏิกิริยาเคมีการเตรียม Dichlorohydrin จากแอลลิคลอไรด์กับกรดไฮโปคลอรัส

เมื่อได้ Dichlorohydrin แล้วนำไปกำจัดกรดออกก็จะได้ epichlorohydrin ดังแสดงในภาพที่ 2-8



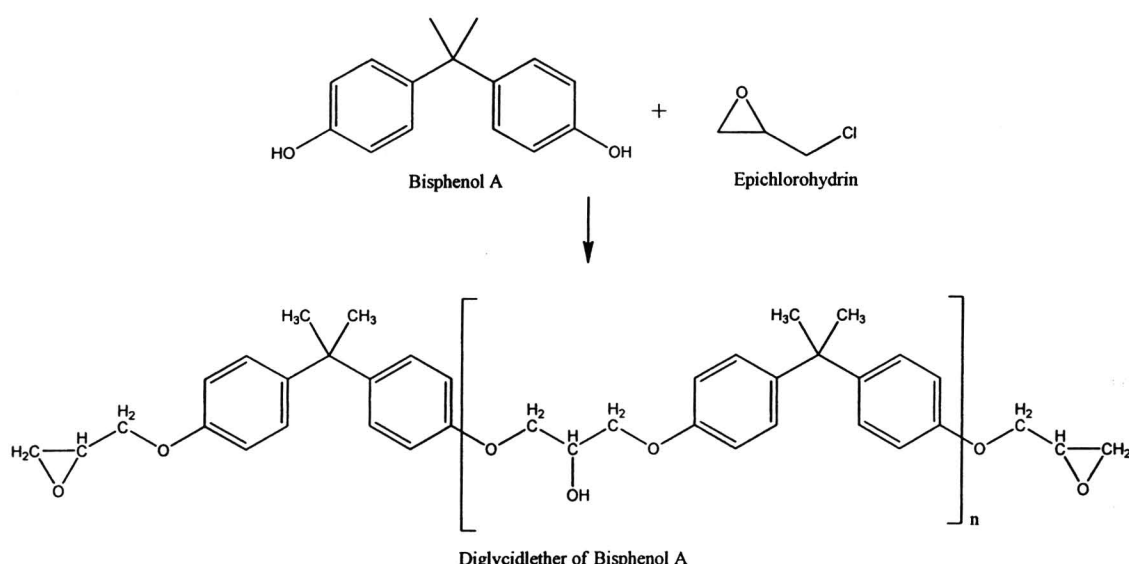
ภาพที่ 2-8 ปฏิกิริยาเคมีการเตรียม Epichlorohydrin จาก Dichlorohydrin

ในส่วนของ Bisphenol A เตรียมได้จากฟีโนล (Phenol) 2 โมล ทำปฏิกิริยากับอะซีโตน (Acetone) 1 โมล ดังแสดงในภาพที่ 2-9



ภาพที่ 2-9 ปฏิกิริยาเคมีการเตรียม Bisphenol A จากฟีนอลกับอะซีโตน

สุดท้ายนำ Bisphenol A ทำปฏิกิริยากับ Epichlorohydrin ก็จะได้ Diglycidylether of Bisphenol A [22] ดังแสดงในภาพที่ 2-10



ภาพที่ 2-10 ปฏิกิริยาเคมีการเตรียม Diglycidylether of Bisphenol A จาก Bisphenol A กับ Epichlorohydrin

2.4 สารเชื่อมขาว

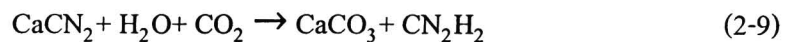
สารเชื่อมขาวนิยมใช้เป็นสารเคมีในกลุ่มของเอmine (Amine) กลุ่มของเอไอมิค์ (Amide) และกลุ่มของแอนไฮดริด (Anhydride) [20] แต่สำหรับสารเชื่อมขาวที่ได้รับความนิยมสำหรับแมง梧จะอิเด็กทรอนิกส์ คือ Dicyandiamide (DICY) การเตรียม Dicyandiamide เริ่มจากการผสมปูนขาวกับตานโค้กที่อุณหภูมิประมาณ 2000 องศาเซลเซียส ได้ผลิตภัณฑ์เป็น Calcium carbide ดังแสดงในสมการที่ (2-7)



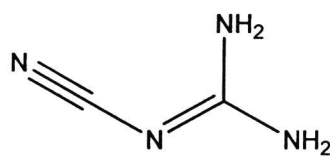
นำ Calcium carbide ที่ได้ทำปฏิกิริยาต่อกับไนโตรเจน (Nitrogen) ที่ความดัน 2 ความดันบรรยายกาศ อุณหภูมิประมาณ 1000 องศาเซลเซียส ได้ผลิตภัณฑ์เป็น Calcium cyanamide ดังแสดงในสมการที่ (2-8)



นำ Calcium cyanamide ทำปฏิกิริยาไฮโดรไลซิส (Hydrolysis) ได้ผลิตภัณฑ์เป็น Cyanamide ดังแสดงในสมการที่ (2-9)



Cyanamide สามารถเกิด Self-Condensations เป็น Dicyandiamide ได้หรือนำ Cyanamide ไปทำปฏิกิริยากับเบสก์สามารถเกิดเป็น Dicyandiamide ได้เช่นกัน ดังแสดงในภาพที่ 2-11



Dicyandiamide

ภาพที่ 2-11 โครงสร้างโมเลกุลของ Dicyandiamide

2.5 เส้นใยแก้ว

เส้นใยแก้วในแผงวงจรอิเล็กทรอนิกส์ชนิด FR-4 เป็นเส้นใยแก้วสารชนิด E-Glass Fiber เส้นใยแก้วชนิดนี้เป็นสารประกอบของ Alumino-Borosilicate ซึ่งเหมาะสมสำหรับการใช้งานทางค้านิเล็กทรอนิกส์หรืองานที่เกี่ยวข้องกับกระแสไฟฟ้าโดยเฉพาะและยังสามารถใช้เป็นวัสดุเสริมแรงสำหรับพอลิเมอร์และแผงวงจรอิเล็กทรอนิกส์ได้ เพราะเส้นใยแก้วชนิด E-Glass Fiber มีปริมาณของอัลคาไลน์ออกไซด์ (Alkaline oxide) น้อยหรือไม่มีเลยและมีราคาถูก ทำหน้าเพิ่มความแข็งแรงให้แผงวงจรอิเล็กทรอนิกส์ [6] องค์ประกอบของเส้นใยแก้วชนิด E-Glass Fiber ดังแสดงในตารางที่



ตารางที่ 2-2 องค์ประกอบของสันไนเก็วชนิค E-Glass Fiber [7]

องค์ประกอบ	ร้อยละโดยนำหนัก
Silicon dioxide	51-56
Calcium oxide	16-25
Aluminum oxide	12-16
Boron oxide	5-10
Iron oxide	0.05-0.4
Magnesium oxide	0-5
Sodium oxide + Potassium oxide	0-2
Fluorides	0-1
Titanium oxide	0-0.8

2.6 เทคนิคการสกัด

กระบวนการแยกเกิดขึ้นได้เมื่อมีการแพร่กระจายของสารที่สนใจระหว่างเฟสสองเฟส ถ้ามีสาร 2 ชนิด ที่มีอัตราส่วนการแพร่กระจายของสารที่สนใจระหว่างเฟส (Phase) สองเฟสต่างกัน จะทำให้สามารถแยกสารทั้งสองชนิดออกจากกันได้ง่าย โดยเฉพาะถ้าอัตราส่วนของการแพร่กระจายของสารทั้งสองชนิดต่างกันมากกว่า 10^3 เท่า จะสามารถแยกสารทั้งสองออกจากกันได้โดยทำการแยกเพียงครั้งเดียว การแยกที่ทำได้อ่อนสมบูรณ์โดยใช้การแยกเพียงครั้งเดียว เรียกว่า Single-Stage Process ถ้าสารคละลायแต่ละตัวมีค่าอัตราส่วนของการแพร่กระจายแตกต่างกันไม่นัก การแยกให้สมบูรณ์สามารถทำได้โดยใช้กระบวนการแยกหลาย ๆ ครั้ง เรียกว่า Multi-Stage Process อัตราส่วนของการแพร่กระจายของตัวถูกคละลा�ຍระหว่างเฟสทั้งสอง เรียกว่า สัมประสิทธิ์ของการกระจาย [23] ดังแสดงในสมการที่ (2-10)

$$K_d = \frac{C_s}{C_m} \quad (2-10)$$

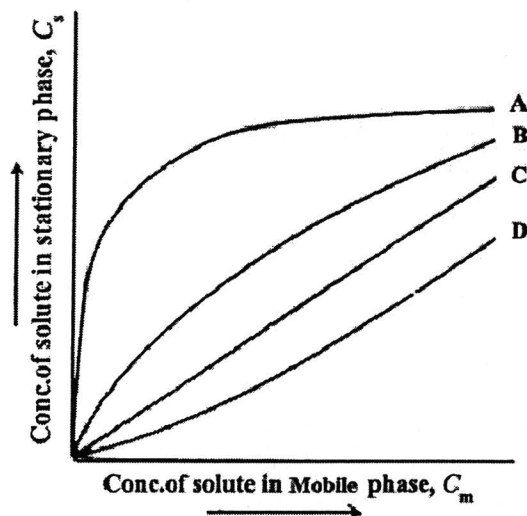
เมื่อ

C_s กือ ความเข้มข้นของตัวถูกคละลা�ຍในเฟสอยู่กับที่

C_m กือ ความเข้มข้นของตัวทำคละลা�ຍในเฟสเดือนที่

สำนักงานคณะกรรมการวิจัยแห่งชาติ	
ที่อยู่เลขที่ 14 ถนนรามคำแหง แขวงสวนหลวง เขตสวนหลวง กรุงเทพมหานคร 10250	
ที่.....	วันที่.....
ลงนาม.....	24/08/2568
ลงนาม.....
ลงนาม.....

ในอุณหคติ ความสัมพันธ์ระหว่าง C_s กับ C_m จะเป็นสัดส่วนโดยตรงทุกๆ ความเข้มข้น แต่ในกรณีที่ C_s ไป C_s กับ C_m จะเป็นสัดส่วนโดยตรงเฉพาะช่วงความเข้มข้นหนึ่ง ๆ เท่านั้น ความสัมพันธ์ของ C_s กับ C_m จะให้กราฟที่มีลักษณะแตกต่างกันแล้วแต่ชนิดของตัวถุกละลายและเฟสทั้งสอง ดังแสดงในภาพที่ 2-12



ภาพที่ 2-12 กราฟการแพร่กระจายของตัวถุกละลายระหว่างเฟสสองเฟส [23]

กราฟ C มีลักษณะเป็นกราฟเส้นตรง เพราะเป็นกรณีของอุณหคติซึ่งเกิดสมดุล เมื่อจากการแพร่กระจายระหว่างเฟสทั้งสองนั้นเท่านั้น ไม่มีสมดุลอื่น ๆ เข้ามาเกี่ยวข้อง เช่น เกิดการรวมตัว การแตกตัว ในกรณีที่มีสมดุลอย่างอื่นเกิดขึ้นในการแพร่กระจายด้วย จะทำให้ได้กราฟที่มีลักษณะเหมือนกราฟ B หรือ D ตัวอย่างเช่น มีน้ำเป็นเฟสอยู่กับที่และเบนซิน (Benzene) เป็นเฟสเคลื่อนที่ ได้ เมื่อมีกรดอินทรีย์ (Organic acid) เป็นตัวถุกละลาย พบว่าในเบนซินจะมีกรดอินทรีย์ที่ไม่แตกตัวละลายอยู่ได้มาก แต่สำหรับกราฟ A เป็นกราฟที่เกิดขึ้นเนื่องจากตัวถุกละลายกระจายโดยการถูกดูดซับ ไว้ที่เฟสของแข็งกับละลายอยู่ในเฟสของเหลว ถ้าตัวถุกละลายมีปริมาณน้อย ๆ พบว่า ความสัมพันธ์ยังคงขึ้นอยู่กับความเข้มข้นของตัวถุกละลาย คือ ปริมาณน้อยจะถูกดูดซับที่ผิวของเฟสของแข็งได้น้อย ปริมาณมากจะถูกดูดซับได้มาก แต่ถ้าเพิ่มความเข้มข้นของตัวถุกละลายให้สูงขึ้นถึงค่าหนึ่ง พบว่าความสัมพันธ์จะไม่ขึ้นอยู่กับความเข้มข้นของตัวถุกละลายแต่อย่างใด ปริมาณของตัวถุกละลายที่ถูกดูดซับที่ผิวของเฟสของแข็งจะคงที่ เพราะของแข็งมีปริมาณคงที่ จึงทำให้ได้กราฟที่มีลักษณะดังกราฟ A เรียกว่ากราฟของ Adsorption Isotherm และความสัมพันธ์ของตัวถุกละลายในเฟสทั้งสอง ดังแสดงในสมการที่ (2-11)

$$C_s = k C_m^n \quad (2-11)$$

ตามภาพที่ 2-12 จะเห็นได้ว่า ในช่วงของความเข้มข้นต่ำ ๆ ความสัมพันธ์ของ C_s กับ C_m ค่อนข้างเป็นเส้นตรง ดังนั้น การใช้ความเข้มข้นต่ำ ๆ จึงประมาณได้ว่า C_s กับ C_m มีความสัมพันธ์ กันเป็นเส้นตรง ซึ่งมีความผิดพลาดเกิดขึ้นน้อยมากจากการประมาณค่าที่ ความผิดพลาดในการแยก ทั้งหมดเกิดขึ้น เนื่องจากกระบวนการแยกไม่สามารถทำให้สารที่สนใจกระจายไปอยู่ในเฟสใด เฟสหนึ่งได้โดยสมบูรณ์ เพราะเกิดสมดุลของการกระจายระหว่างเฟสสองเฟสของสารที่สนใจขึ้น ซึ่งทำให้อัตราส่วนของสารที่สนใจทำการแยกออกมาได้ต่อสารที่มีอยู่ทั้งหมดมีค่าน้อยกว่า 1 ดังแสดงในสมการที่ (2-12)

$$Q_m = \frac{M}{M_0} \quad (2-12)$$

เมื่อ

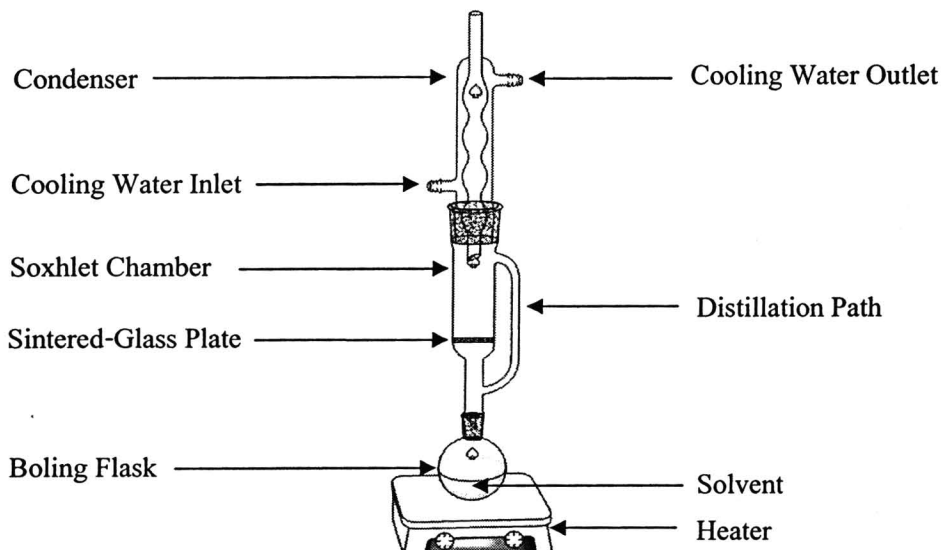
- Q_m คือ อัตราส่วนของสารที่สนใจที่แยกออกมาได้ต่อสารที่สนใจที่มีอยู่ในตอนเริ่มต้น
- M คือ สารที่สนใจที่แยกออกมาได้
- M_0 คือ สารที่สนใจที่มีอยู่ในตอนเริ่มต้น

เทคนิคการสกัดด้วยตัวทำละลาย (Solvent) เป็นเทคนิคหนึ่งที่ใช้แยกสารประกอบที่สนใจออกจากสารผสม โดยอาศัยหลักการกระจายตัวของตัวถูกละลายหรือสารที่สนใจไว้ทางตัวทำละลาย 2 ชนิด ที่ไม่ละลายเป็นเนื้อเดียวกัน ปริมาณของตัวถูกละลายที่ละลายอยู่ในตัวทำละลายแต่ละชนิดจะมีค่าเท่ากันเท่าไรนั้น ขึ้นอยู่กับชนิดของตัวถูกละลายและตัวทำละลาย อัตราส่วนความเข้มข้นของตัวถูกละลายในตัวทำละลายที่ 1 ต่อความเข้มข้นของตัวถูกละลายในตัวทำละลายที่ 2 ที่สมดุล คือ ค่าคงที่ของสมดุลที่เรียกว่าสัมประสิทธิ์ของการกระจายหรือสัมประสิทธิ์ของการแบ่งส่วน (Distribution Coefficient) ซึ่งเป็นค่าคงที่เฉพาะตัวถูกละลายชนิดหนึ่ง ๆ สำหรับตัวทำละลายคู่หนึ่ง ๆ ที่อุณหภูมิหนึ่ง ๆ เท่านั้น วิธีการสกัดโดยใช้ตัวทำละลายที่เป็นของเหลว 2 ชนิด เรียกว่า Liquid-Liquid Extraction โดยปกติของเหลวนิดหนึ่ง คือน้ำ ส่วนของเหลวอีกชนิด คือ ตัวทำละลายอินทรีย์ ซึ่งตัวทำละลายทั้งสองจะไม่ละลายเป็นเนื้อเดียวกัน น้ำเป็นตัวทำละลายที่สามารถละลายไฮอนต์ต่าง ๆ หรือสารประกอบอินทรีย์ที่มีข้าว ตัวทำละลายอินทรีย์สามารถละลายสารประกอบที่เป็นกลาจหรือสารประกอบอินทรีย์ชนิดไม่มีข้าว

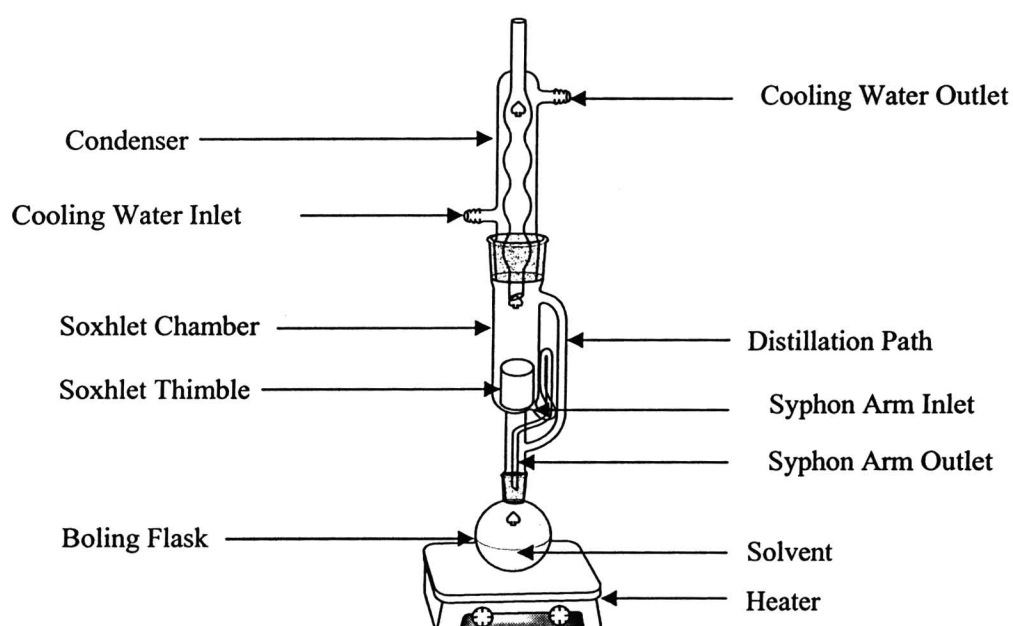
ในกรณีที่สารสกัดใช้ตัวทำละลายที่เป็นของเหลวชนิดเดียว สกัดสารที่สนใจออกจากสารตัวอย่างของแข็ง จะเรียกวิธีสกัดนี้ว่า Solid-Liquid Extraction ตัวทำละลายของเหลวที่ใช้ในการสกัดจะเป็นตัวทำละลายอินทรีย์หรือน้ำขึ้นอยู่กับชนิดของสารตัวอย่างที่ต้องสกัด การสกัดจะทำได้ดีหรือไม่ขึ้นอยู่กับการละลายของตัวถูกละลายในตัวสกัดหรือตัวทำละลายของเหลวและเวลาที่ใช้ในการสกัด เวลาที่ใช้จะสั้นหรือนานขึ้นอยู่กับลักษณะของตัวถูกละลายที่อยู่ในสารตัวอย่างของแข็ง ถ้าตัวถูกละลายเพียงคุดชับที่ผิวของของแข็ง การสกัดจะใช้เวลาน้อย แต่ถ้าตัวถูกละลายอยู่ภายในของแข็ง จะต้องใช้เวลามากกว่า และถ้าปรากฏว่าการกระจายของตัวทำละลายสู่ภายนอกของแข็งเกิดขึ้นได้ช้ามาก จำเป็นต้องบดของแข็งให้ละเอียดก่อนทำการสกัด วิธีการสกัดของแข็งสามารถทำได้ 2 วิธี ได้แก่

2.6.1 ถ้าตัวถูกละลายอยู่ในสารตัวอย่างของแข็งเพียงแค่คุดชับที่ผิวและการละลายของตัวถูกละลายในตัวสกัดมีค่าสูง การสกัดสามารถทำได้อย่างง่าย ๆ ก็อ นำสารตัวอย่างใส่ลงในบีกเกอร์ (Beaker) หรือขวดปากกว้างแล้วเติมตัวสกัดหรือตัวทำละลายลงไป จากนั้นกวนสารที่อยู่ในบีกเกอร์ ถ้าใช้ขวดปากกว้างที่มีฝาปิดสนิท ได้ก สามารถใช้การเบย่า เมื่อคนหรือเขย่าเป็นเวลานานพอนั้น แน่ใจว่าตัวถูกละลายละลายในตัวสกัดหมดแล้ว ให้ใช้วิธีกรองเอาของแข็งออกจากสารละลาย ด้วยเทคนิคนี้ก สามารถแยกตัวถูกละลายออกจากสารตัวอย่างของแข็งได้ เทคนิคนี้เหมาะสมสำหรับใช้ในการแยกสารประกอบประเภทกลีอของสารอินทรีย์และเป็นเทคนิคที่สำคัญในกระบวนการระล้าง (Leaching Operation)

2.6.2 ถ้าตัวถูกละลายเป็นสารประกอบอินทรีย์หรือสารทางชีววิทยา ซึ่งเป็นสารประกอบที่มีการละลายในตัวสกัดต่ำ ทำให้การสกัดจะสมบูรณ์ได้ต้องใช้เวลานาน ๆ จำเป็นต้องใช้เทคนิคของการสกัดอย่างต่อเนื่อง เครื่องมือที่ใช้สำหรับการสกัดอย่างต่อเนื่องมีอยู่ 2 แบบ ได้แก่ Continuous Infusion Extractor และ Discontinuous Infusion Extractor หรือเครื่องมือสกัดซอกเลต ดังแสดงในภาพที่ 2-13 และ 2-14



ภาพที่ 2-13 Continuous Infusion Extractor



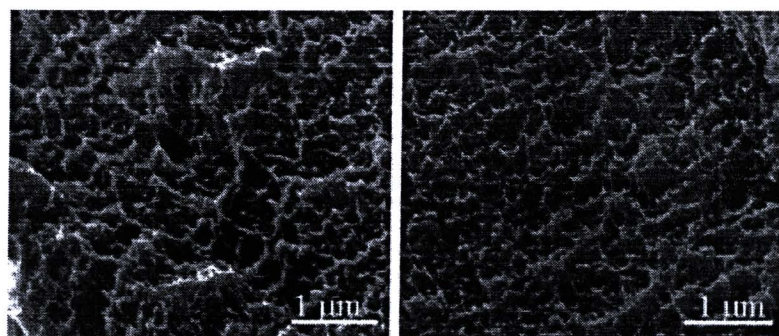
ภาพที่ 2.14 Discontinuous Infusion Extractor หรือเครื่องสกัดซอกเลต

2.7 การศึกษาพื้นผิวการแตกหัก

ความเสียหายหรือการแตกหักที่เกิดขึ้นกับวัสดุ สามารถแบ่งออกเป็น 2 กลุ่ม คือ การแตกหักแบบเปราะ (Brittle Fracture) และการแตกหักแบบเหนียว (Ductile Fracture) โดยการแตกหักแบบเปราะจะได้รับความสนใจมากกว่า เนื่องจาก การแตกหักดังกล่าวจะเกิดการเปลี่ยนรูปร่างแบบตัวรี (Plastic Deformation) น้อยมาก จึงทำให้ชิ้นงานเกิดการแตกหักอย่างรวดเร็วและมีผลกระทบที่ค่อนข้างรุนแรง การป้องกันหรือหลีกเลี่ยงได้ยาก ส่วนการแตกหักแบบเหนียววน้น โดยทั่วไปจะมี

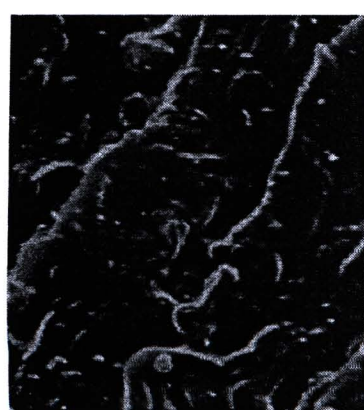
ลักษณะพื้นผิวของการแตกหักที่ค่อนข้างหยาบและจะเกิด Plastic Deformation จำนวนมากก่อนการแตกหัก ทำให้เราเมื่อเวลาเพียงพอที่จะทำการเปลี่ยนแปลง แก่ไขหรือป้องกันอุปกรณ์ เครื่องมือนั้น ๆ ก่อนความเสียหายเกิดขึ้น

การแตกหักแบบเปราะ สามารถแบ่งออกเป็นประเภทใหญ่ ๆ ได้อีก 2 ประเภท คือ การแตกแบบเปราะ-เปราะและการแตกแบบเปราะ-เหนีyaw พื้นผิวการแตกหักแบบเปราะจะมีลักษณะเรียบ蹭อและมีการเกิด Plastic Deformation น้อยมาก ในขณะที่การแตกแบบเหนีyawจะมีรูปแบบการแตกหักที่มีลักษณะแบบ Dimple Rupture ดังแสดงในภาพที่ 2-15



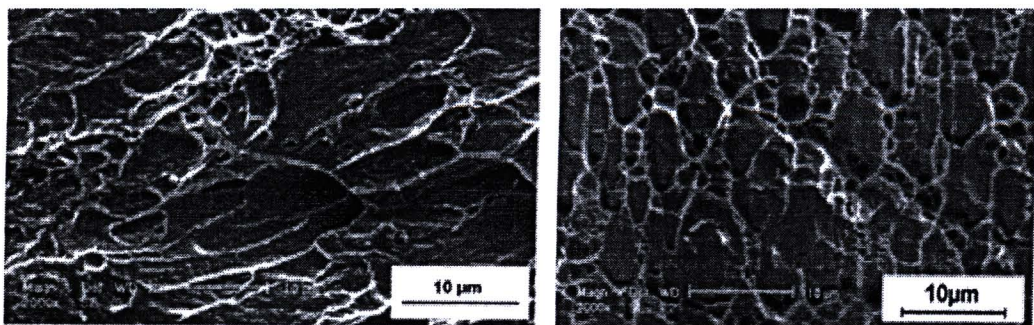
ภาพที่ 2-15 ลักษณะพื้นผิวการแตกหักแบบ Dimple Rupture [24]

ซึ่งเป็นลักษณะของการเกิด Plastic Deformation ค่อนข้างมากในระหว่างการแตกหัก การแตกแบบเปราะ โดยทั่วไปจะแสดงพื้นผิวของการแตกหักที่ค่อนข้างเรียบส่วนลดให้มีพื้นที่ผิวการแตกหักน้อย พลังงานพื้นผิว (Surface Energy) ระหว่าง 2 พื้นผิว มีพลังงานต่ำ พื้นผิวการแตกหักแบบเปราะมีลักษณะเป็นกลุ่ม โครงสร้าง (Facet) เหมือนเส้นลายน้ำ (River Line Pattern) หรือ Stress Line Pattern ดังแสดงในภาพที่ 2-16



ภาพที่ 2-16 ลักษณะพื้นผิวการแตกหักแบบ Stress Line Pattern [25]

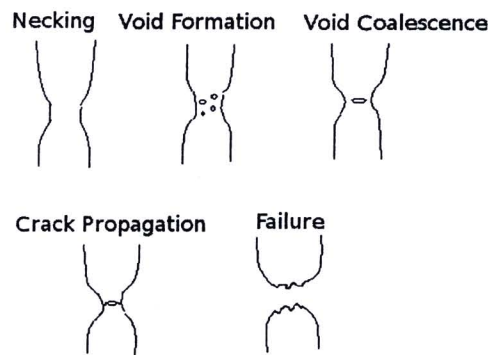
ซึ่งจะมีทิศทางตามความเคี้นและซึ่ไปที่จุดต้นกำเนิดของรอยแตก การแตกหักแบบเปราะอาจมีบางส่วนที่เกิดการแตกหักแบบเหนียวร่วมด้วย สังเกตได้จากการเกิด Ductile Dimple ร่วมกับ Stress Line เรียกการแตกหักในกรณีนี้ว่า Quasi-Cleavage Fracture ดังแสดงในภาพที่ 2-17



ภาพที่ 2-17 ลักษณะพื้นผิวการแตกหักแบบ Quasi-Cleavage Fracture [26]

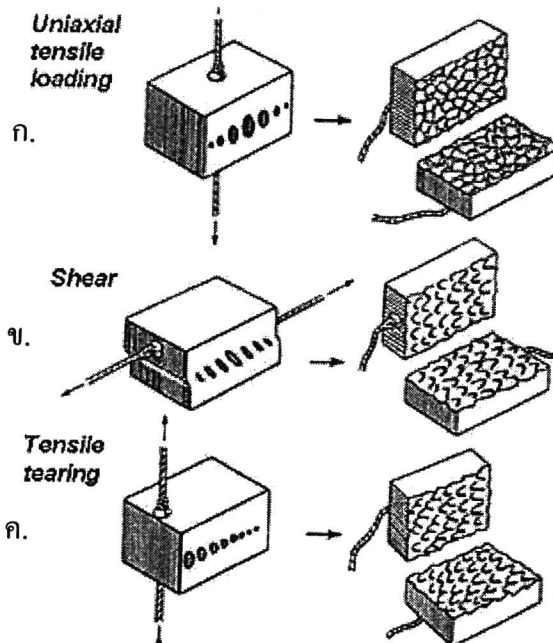
กลไกของการเกิด Stress Line เกิดจากระนาบอะตอมของวัสดุที่มีการจัดเรียงตัวเยื่องกันเล็กน้อย และมีพลังงานพื้นผิวต่ำสุด เมื่อรอยแตกขยายเข้ามาในบริเวณระนาบดังกล่าว รอยแตกจะเกิดในระนาบที่มีพลังงานพื้นผิวน้อยที่สุดและเกิดเป็นลักษณะขั้นบัน ໄอบบริเวณรอยต่อของระนาบ สาเหตุของการแตกหักแบบเปราะเกิดจากการสะสมความเคี้น (Stress Concentration) ตรงบริเวณที่มีข้อบกพร่อง (Defects) เช่น รอยแตก (Crack) รูพรุน (Porosity) และ Inclusion ข้อมบกพร่องต่าง ๆ จะขัดขวางการเคลื่อนที่ของบริเวณ Dislocation จึงเกิดการสะสมความเคี้นในระดับที่มากกว่าบริเวณอื่น เกิดเป็นรอยแตกภายในโครงสร้างและเกิดการแตกหักในที่สุด

การแตกหักแบบเหนียว เป็นการศึกษารอยแตกของวัสดุที่ผ่านแรงดึง เมื่อชิ้นงานถูกดึงผ่านจุด Ultimate Tensile Strength จะเกิดลักษณะคอคอด (Necking) ของชิ้นงาน ภายใต้บริเวณคอคอดจะเกิดซ่องว่างเล็ก ๆ (Microvoid) และซ่องว่างดังกล่าวจะรวมตัวกันเกิดเป็นรอยแตกที่ใหญ่ขึ้น รอยแตกนี้จะมีทิศทางที่ตั้งฉากกับแรงที่มากระทำ และเมื่อรอยแตกขยายตัวจนถึงขอบของชิ้นงานจะเกิดระนาบของแรงเหลื่อน มีระนาบทำมุมกับทิศของแรงที่มากระทำประมาณ 45 องศา และระนาบของแรงเหลื่อนจะเชื่อมต่อกับรอยแตกจนทำให้เกิดการแตกหักของชิ้นงานในที่สุด ดังแสดงในภาพที่ 2-18



ภาพที่ 2-18 ลักษณะการเกิดคอตอต [27]

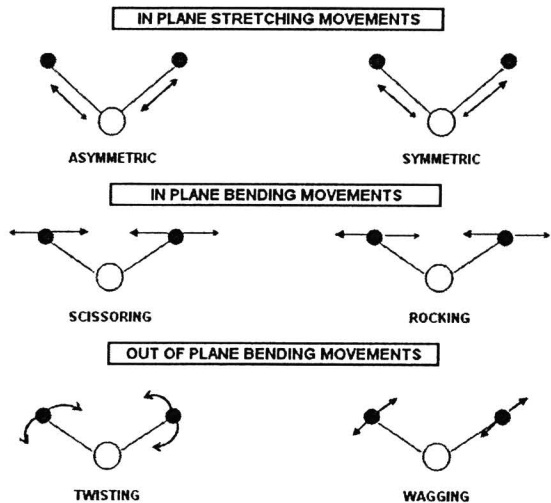
วัสดุที่มีความเหนียวจะเกิดช่วง Plastic deformation ที่ค่อนข้างมาก ผิวรอยแตกที่บรู๊ฟจะมีพื้นที่มากกว่าผิวรอยแตกที่เรียบ แสดงว่าการแตกหักแบบเหนียวจึงต้องใช้พลังงานในการแตกหักมากกว่าการแตกหักแบบเปราะหรือมีพลังงานพื้นผิวมากกว่านั้นเอง กลไกการเกิด Microvoid เริ่มจากเกิดการสูญเสียแรงยึดเหนี่ยว (Decohesion) ระหว่างวัสดุพื้น (Matrix) กับ Inclusion หรือ second phase particle แรงภายนอกที่มากระทำจะทำให้เกิด Microvoid และเมื่อวัสดุได้รับแรงอย่างต่อเนื่อง Microvoid จะขยายตัวเพิ่มมากขึ้นและรวมเป็นขนาดใหญ่ (Microvoid Coalescence) เป็นผลทำให้เกิดรอยแตกขนาดใหญ่ภายในโครงสร้างและทำให้เกิดการแตกหักในที่สุด ลักษณะของ Microvoid สามารถถูกถือว่าเป็นลักษณะของแรงที่มากระทำได้ ลักษณะของ Microvoid ที่เกิดขึ้นบริเวณพื้นผิวการแตกหักทั้งสองด้านมีลักษณะเป็นหลุมกลม (Equiaxed Shape) แสดงว่าแรงที่มากระทำนั้นเป็นแรงดึงที่กระทำตั้งฉากกับพื้นผิว การแตกหักของ Microvoid มีการบิดเบี้ยวเป็น Parabola และพื้นผิวการแตกหักทั้งสองด้าน มีปลายของ Microvoid ซึ่งไปในทิศทางที่ตรงกันข้าม แสดงว่าแรงที่มากระนั้นเป็นแรงเฉือน และลักษณะของ Microvoid มีการบิดเบี้ยวเป็น Parabola แต่พื้นผิวการแตกหักทั้งสองด้าน มีปลายของ Microvoid ซึ่งไปในทิศทางเดียวกัน แสดงว่าแรงที่มากระนั้นเป็นแรง Tensile Tearing [27-29] ดังแสดงในในภาพที่ 2-19



ภาพที่ 2-19 Microvoid ที่เกิดจากแรงกระทำลักษณะแตกต่างกัน ก. แรงดึง ข. แรงเฉือน ค. Tensile Tearing [29]

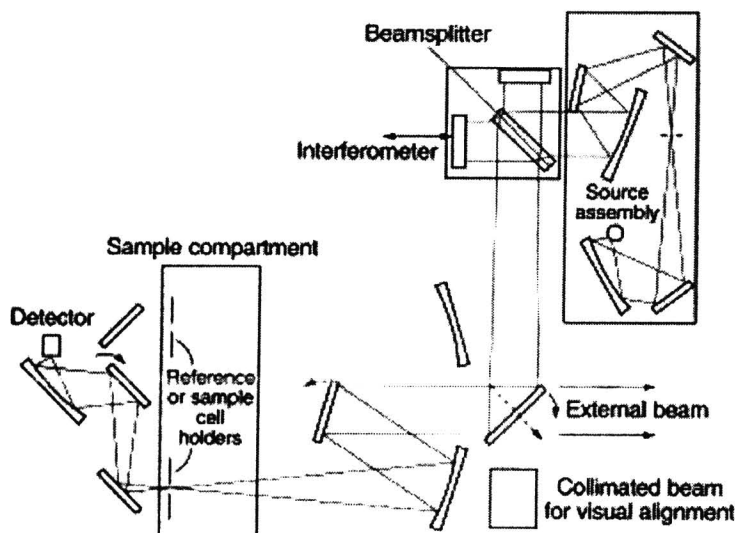
2.8 การวิเคราะห์

2.8.1 อินฟราเรดสเปกโตรสโคปี (Infrared Spectroscopy, IR) เป็นเทคนิคการพิสูจน์และศึกษาเกี่ยวกับโครงสร้างโมเลกุลของสาร โดยอาศัยหลักการคูคูกลีนรังสีอินฟราเรดที่มีพลังงานพอเพียงและเกิดการควบคู่ระหว่างสนามไฟฟ้าจากการแผ่รังสีกับสารตัวอย่าง ทำให้โมเมนต์ขั่วคู้ของโมเลกุลเปลี่ยนไป โมเลกุลจึงเกิดการสั่นและการหมุน พลังงานของการสั่นและหมุนของโมเลกุลที่ใช้สำหรับวิเคราะห์โดยทั่วไปของอินฟราเรดสเปกโตรสโคปีจะเกี่ยวข้องกับรังสีแม่เหล็กไฟฟ้าซึ่งมีความยาวคลื่นอยู่ในช่วง $2.5 - 25$ ไมโครเมตร หรือ $4000 - 400 \text{ cm}^{-1}$ [30-31] ดังแสดงในภาพที่ 2-20



ภาพที่ 2-20 รูปแบบการสั่นและการหมุนโมเลกุลของสารตัวอย่าง [31]

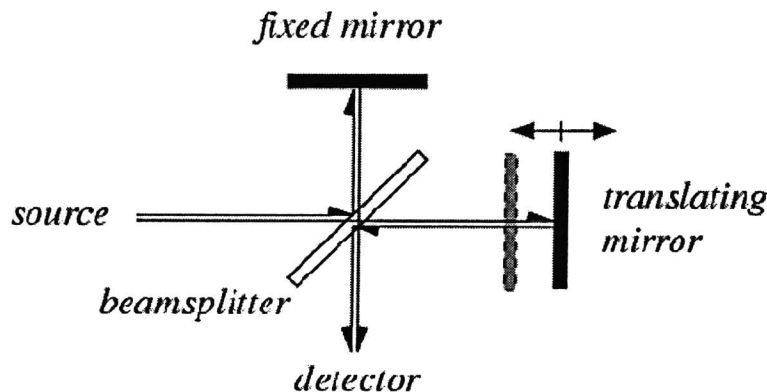
ฟูเรียร์ทรานส์ฟอร์มสเปกโตรมิเตอร์ (Fourier Transform Spectrometer, FTIR) คือ เครื่องมือทดสอบสำหรับเทคนิคอินฟราเรดสเปกโตรสโคปี มีส่วนประกอบสำคัญ ดังแสดงในภาพที่ 2-21



ภาพที่ 2-21 ส่วนประกอบหลักของเครื่องฟูเรียร์ทรานส์ฟอร์มสเปกโตรมิเตอร์ [31]

2.8.1.1 แหล่งกำเนิดแสง ทำจากprotoทซึ่งมีความเข้มของแสงสูงหรือทำจากคลัวดที่ถูกให้ความร้อนแล้วปล่อยสเปกตรัม (Spectrum) ออกมาก่อนต่อเนื่อง

2.8.1.2 มิเชลสันอินเทอร์เฟอโรมิเตอร์ (Michelson Interferometer) องค์ประกอบสำคัญของมิเชลสันอินเทอร์เฟอโรมิเตอร์ คือ กระจกเงาสองบาน กระจกเงางานแรกถูกยึดอยู่กับที่ในขณะที่กระจกเงางานที่สองสามารถเคลื่อนที่ได้ ดังแสดงในภาพที่ 2-22



ภาพที่ 2-22 ส่วนประกอบของมิเชลสันอินเทอร์เฟอโรมิเตอร์ [31]

2.8.1.3 ตัวกระจายแสง (Beam Splitter) ทำหน้าที่กระจายลำแสงออกเป็นส่วน ๆ ถูกติดตั้งให้ทำมุม 45 องศากับเส้นทางเดินของลำแสง ลำแสงบางส่วนจะถูกส่งผ่านออกไปในขณะที่ ลำแสงบางส่วนจะถูกสะท้อนกลับไปกระบวนการกับกระจกเงาทั้งสองบานซึ่งถูกติดตั้งให้ตั้งฉากกับ ลำแสงทั้งสอง ทำให้เกิดการสะท้อนกลับไปกลับมากของลำแสงและเกิดการรวมตัวกันของลำแสงที่ ตัวกระจายแสง ทำให้เกิดปรากฏการณ์อินเทอร์เฟอเรนซ์ (Interference Effect) หลังจากนั้นลำแสง จะส่องผ่านสารตัวอย่างเข้าสู่เครื่องรับสัญญาณเพื่อทำการวิเคราะห์ผลต่อไป

2.8.2 การวิเคราะห์คุณสมบัติทางความร้อนของพอลิเมอร์ เป็นการวิเคราะห์พฤติกรรมของ พอลิเมอร์เมื่อมีการเปลี่ยนแปลงอุณหภูมิ ใช้ในการเลือกชนิดและสภาพะที่เหมาะสมสำหรับ กระบวนการผลิตและการเลือกใช้งานพอลิเมอร์ สมบัติทางความร้อนของพอลิเมอร์ขึ้นอยู่กับการเกิด การเปลี่ยนแปลงอุณหภูมิที่สภาวะทราบสิชัน (Transition State) พอลิเมอร์ที่มีโครงสร้างผลึก (Crystalline Polymer) จะเกิดการเปลี่ยนแปลงสภาวะทราบสิชันที่บริเวณอุณหภูมิหลอมเหลวของ โครงสร้างผลึก (Melting Temperature, T_m) พอลิเมอร์ที่ไม่มีโครงสร้างผลึกหรือพอลิเมอร์อัมอร์ฟ (Amorphous Polymer) จะเกิดการเปลี่ยนแปลงสภาวะทราบสิชันที่บริเวณอุณหภูมิหลอมเหลวของ (Glass Transition Temperature, T_g) และพอลิเมอร์ที่มีทั้งโครงสร้างผลึกและโครงสร้างอัมอร์ฟ ผสมกันอยู่ (Semi-Crystalline Polymer) จะเกิดการเปลี่ยนสภาวะทราบสิชัน 2 อุณหภูมิ ได้แก่ อุณหภูมิค้ำยแก้วและอุณหภูมิหลอมเหลวของโครงสร้างผลึก [31-32]

อุณหภูมิคล้ายแก้วเป็นอุณหภูมิที่พอลิเมอร์จะแสดงคุณสมบัติอยู่ระหว่างสมบัติคล้ายแก้ว (Glassy) และสมบัติคล้ายยาง (Rubbery) เมื่ออุณหภูมิของพอลิเมอร์มีค่าต่ำกว่าอุณหภูมิคล้ายแก้วของพอลิเมอร์ โนเลกุลของพอลิเมอร์จะเคลื่อนไหวได้เพียงเล็กน้อย ส่งผลให้พอลิเมอร์แสดงคุณสมบัติคล้ายแก้ว และเมื่ออุณหภูมิของพอลิเมอร์มีค่ามากกว่าอุณหภูมิคล้ายแก้วของพอลิเมอร์ โนเลกุลของพอลิเมอร์จะเคลื่อนไหวได้มากขึ้น ส่งผลให้พอลิเมอร์แสดงคุณสมบัติคล้ายยาง ปัจจัยที่มีผลต่ออุณหภูมิคล้ายแก้วของพอลิเมอร์หรือการเคลื่อนที่ของโนเลกุลของพอลิเมอร์แสดงดังแสดงในตารางที่ 2-3

ตารางที่ 2-3 ปัจจัยที่ผลต่ออุณหภูมิคล้ายแก้วของพอลิเมอร์

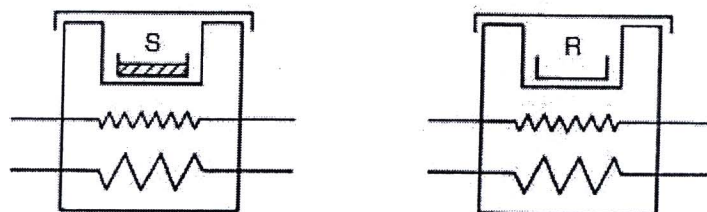
ความแข็งแรงของโนเลกุลหลัก (Main Chain Rigidity) เพิ่มขึ้น ความแข็งแรงของสายโนเลกุลข้างเคียง (Rigid Side Chains) เพิ่มขึ้น ความหนาแน่นของสายโนเลกุลข้างเคียง (Bulky Side Chains) เพิ่มขึ้น เกิดแทกทิกซิตี (Tacticity) แบบซินคิโอแทกทิก (Syndiotactic) น้ำหนักโนเลกุล (Molecular Weight, MW) เพิ่มขึ้น การกระจายของน้ำหนักโนเลกุล (Molecular Weight Distribution, MWD) เพิ่มขึ้น ความมีชี้ว (Polarity) เพิ่มขึ้น พลังงานดึงดูดสารชนิดเดียวกัน (Cohesive Energy) เพิ่มขึ้น พอลิเมอไรเซชั่นแบบโครงร่างตาข่ายสามมิติเพิ่มขึ้น ปริมาณพลีก (Crystallinity) เพิ่มขึ้น	อุณหภูมิคล้ายแก้ว เพิ่มขึ้น
ความยืดหยุ่นของโนเลกุลหลัก (Main Chain Flexibility) เพิ่มขึ้น ความยืดหยุ่นของสายโนเลกุลข้างเคียง (Flexible Side Chain) เพิ่มขึ้น เกิดแทกทิกซิตีแบบไอโซแทกทิก (Isotactic) ความสมมาตร (Symmetry) เพิ่มขึ้น การเติมสารเสริมสภาพพลาสติก (Plasticizer) เพิ่มขึ้น โครงสร้างโนเลกุลแบบกิ่ง (Branched Polymer) เพิ่มขึ้น	อุณหภูมิคล้ายแก้ว ลดลง

อุณหภูมิหลอมเหลวของพลีก จะมีความเด่นชัดมากกว่าอุณหภูมิคล้ายแก้ว โดยเฉพาะอย่างยิ่งในพอลิเมอร์ที่มีความเป็นพลีกสูง ๆ การหลอมเหลวของพลีกจะเกิดขึ้นในช่วงอุณหภูมิกว้างเนื่องจากความแน่นอนของอุณหภูมิหลอมเหลวของแต่ละบริเวณที่เป็นพลีกขึ้นอยู่กับขนาดและ

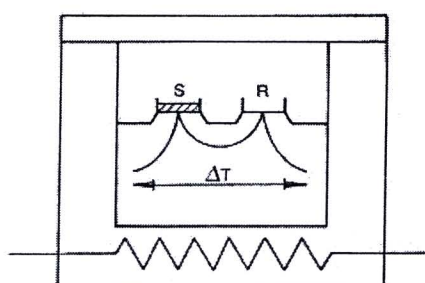
ความสมบูรณ์ของผลึก พอลิเมอร์ที่มีโครงสร้างผลึกขนาดใหญ่และมีความสมบูรณ์ของผลึกมาก จะมีอุณหภูมิหลอมเหลวสูง อุณหภูมิหลอมเหลวของผลึกจะขึ้นอยู่กับการผ่านกระบวนการทางความร้อนของพอลิเมอร์ เช่น อัตราการตกผลึก การให้เวลาในการตกรอกน้ำ ก่อให้อุณหภูมิต่ำกว่า อุณหภูมิหลอมเหลวของผลึกเดือน้อยระยะเวลาหนึ่ง จากนั้นควบคุมอัตราการเย็นตัวของพอลิเมอร์ ให้เย็นลงช้า ๆ หรือแอนนิลลิ่ง (Annealing) จะทำให้ได้ผลึกที่มีขนาดใหญ่และผลึกมีความสมบูรณ์สูง ผลึกของพอลิเมอร์ประกอบด้วยโมเลกุลของพอลิเมอร์ที่เป็นเส้นตรงภายใต้ความเด่นเนื่องจากแรงเสียดทานที่เกิดกับผนังของแม่พิมพ์ระหว่างกระบวนการขึ้นรูป เมื่อได้รับความร้อนทำให้โมเลกุลเกิดการขาดตัวกลับ (Recoiling) และเกิดโครงสร้างผลึกที่มีขนาดใหญ่และสมบูรณ์มากขึ้น และไม่มีความเด่นสะสนออยู่ในโมเลกุลของพอลิเมอร์ทำให้สมบัติเชิงกลดีขึ้นด้วย อัตราการตกผลึกจะค่อย ๆ ลดลงเมื่ออุณหภูมิเข้าใกล้อุณหภูมิค้ำข่ายเก้าของพอลิเมอร์

คิฟเฟอเรนเซียลสแกนนิ่งแคลโลริเมตรี (Differential Scanning Calorimetry, DSC) เป็นเทคนิคการวัดอัตราการไหลของความร้อน (Heat Flow, dQ/dt) ที่ให้กับสารตัวอย่างเทียบกับสารอ้างอิงเป็นฟังก์ชันกับเวลาหรืออุณหภูมิ เมื่อมีการเปลี่ยนแปลงทางพิสิกส์และเคมีจะส่งผลให้เกิดการเปลี่ยนแปลงต่อエンทัลปี (Enthalpy) อุณหภูมิและความจุความร้อน เครื่อง DSC สามารถวัดได้ทั้งปริมาณความแตกต่างของกำลังและความแตกต่างของอุณหภูมิ เปรียบเทียบกันระหว่างสารตัวอย่างกับสารอ้างอิงที่เนื้อข้อต่อการเปลี่ยนแปลงอุณหภูมิ โดยสารตัวอย่างและสารอ้างอิงจะถูกบรรจุอยู่ภายในภาชนะที่ทำจากอลูминีียม (Aluminum Pan) มีขนาดและน้ำหนักเท่ากัน แต่สารอ้างอิงนิยมใช้เป็นภาชนะอลูมิเนียมเปล่าที่ไม่มีการบรรจุสารใด ๆ หลักการทำงานของเครื่อง DSC จะเป็นการควบคุมอุณหภูมิของสารตัวอย่างและสารอ้างอิงให้เท่ากันตลอดการวัด เมื่อมีการเปลี่ยนแปลงทางความร้อนของสารตัวอย่างจะมีความร้อนใหม่เข้าหรือออกจากสารตัวอย่าง ความร้อนที่ใหม่เข้าออกสารตัวอย่างมีค่ามากกว่าหรือน้อยกว่าความร้อนที่ใหม่เข้าออกสารอ้างอิง เครื่อง DSC สามารถแบ่งออกเป็น 2 ชนิดตามลักษณะการวัด คือ เครื่อง DSC ที่เป็นระบบวัดความแตกต่างของกำลัง (Power Compensated) สารตัวอย่างกับสารอ้างอิงจะมีเครื่องให้อุณหภูมิแยกกัน เครื่องมีอัตราการวัดความแตกต่างระหว่างกำลังการให้ความร้อนที่ให้กับสารตัวอย่างและสารอ้างอิงเพื่อให้อุณหภูมิของสารตัวอย่างและสารอ้างอิงใกล้เคียงหรือเท่ากันตลอดการทดสอบ ดังแสดงในภาพที่ 2-23 ในส่วนของเครื่อง DSC ที่เป็นระบบวัดความแตกต่างของอุณหภูมิหรือพลังช์ความร้อน (Heat Flux) สารตัวอย่างกับสารอ้างอิงจะมีเครื่องให้อุณหภูมิเครื่องเดียวกัน เครื่องมีอัตราการวัดความแตกต่างของความร้อนที่ใหม่เข้าหรือออกสารตัวอย่างเทียบกับสารอ้างอิง เพื่อให้อุณหภูมิของสารตัวอย่างและสารอ้างอิงใกล้เคียงหรือเท่ากันตลอดการทดสอบ ดังแสดงในภาพที่ 2-24 เมื่อสาร

ตัวอย่างกับสารอ้างอิงมีอุณหภูมิแตกต่างกัน (ΔT) เครื่องมือจะแสดงความแตกต่างของอุณหภูมิ ออกมานเป็นเส้นทางเดินของอุณหภูมิ



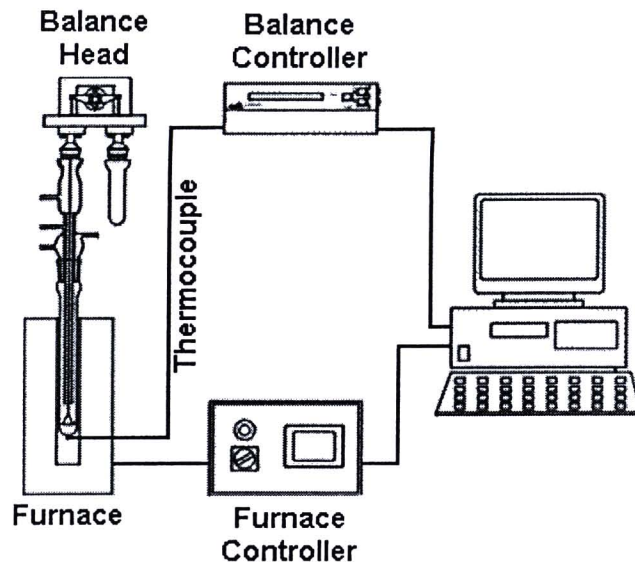
ภาพที่ 2-23 ส่วนประกอบของเครื่อง DSC ระบบวัดความแตกต่างของกำลัง [32]



ภาพที่ 2-24 ส่วนประกอบของเครื่อง DSC ระบบวัดความแตกต่างของฟลักซ์ความร้อน [32]

ในการทดสอบสารตัวอย่างหนึ่งชนิด ทำการทดสอบ 3 ครั้ง ครั้งแรกทดสอบภازนะบรรจุสารตัวอย่างเปล่าเทียบกับภازนะอ้างอิง ครั้งที่สองทดสอบภازนะบรรจุสารตัวอย่างที่มีสารตัวอย่างเทียบกับภازนะอ้างอิง ครั้งที่สามทดสอบภازนะบรรจุสารเทียบค่า (Calibrant) เทียบกับภازนะอ้างอิง

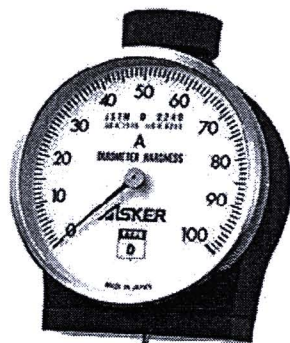
เทอร์โมกราฟิเมทริกแอนาไลซิส (Thermal Gravimetric Analysis, TGA) เป็นเทคนิควิเคราะห์การสลายตัวเนื่องจากความร้อน การเกิดออกซิเดชัน (Oxidation) และความเสถียรของสารตัวอย่าง โดยอาศัยการเปลี่ยนแปลงต่อเนื่องของน้ำหนักของสารตัวอย่างที่หายไป เมื่อได้รับความร้อนด้วยอัตราคงที่ค่าหนึ่งหรือวัดน้ำหนักของสารตัวอย่างที่หายไปเป็นฟังก์ชันกับเวลาที่อุณหภูมิคงที่ ส่วนประกอบที่สำคัญของเครื่อง TGA ได้แก่ อุปกรณ์ชั่งน้ำหนัก ที่วัดสารตัวอย่าง เตาเผา ชุดควบคุมและบันทึกผล ดังแสดงในภาพที่ 2-25



ภาพที่ 2-25 ส่วนประกอบของเครื่อง TGA [32]

2.8.3 การทดสอบสมบัติเชิงกลของพลาสติกสามารถแบ่งออกเป็น 2 ประเภทหลัก ได้แก่ การทดสอบสมบัติเชิงกระยะสั้นและการทดสอบสมบัติเชิงกระยะยาว การทดสอบสมบัติเชิงกล ระยะยาวหมายความว่าการอุ่นแบบผลิตภัณฑ์ ตัวอย่างเช่น การทดสอบการคีบตัว การทดสอบ ความเสียหายจากการคีบตัว และการทดสอบความล้า การทดสอบสมบัติเชิงกระยะสั้นหมาย สำหรับเปรียบเทียบสมบัติเบื้องต้นสำหรับการเลือกใช้วัสดุ ตัวอย่างเช่น การทดสอบความแข็ง การทดสอบแรงกระแทกและการทดสอบแรงดึง [31, 33-36]

การทดสอบความแข็ง (Hardness Testing) เป็นการทดสอบเพื่อหาค่าการต้านทานการเกิด รอยกดที่พื้นผิวของวัสดุ การทดสอบความแข็งอาศัยหลักการเกี่ยวกับการวัดความต้านทานต่อการ เกิดเป็นรอยกด หัวกดที่ใช้ทดสอบมีทั้งหัวกด หัวระนาบ รายปลาญนหรือปรามิค ทำจาก เหล็กกล้าแข็งหรือเพชร ในการทดสอบจะต้องควบคุมน้ำหนักที่กดลงบนเครื่องมือทดสอบให้คงที่ การทดสอบความแข็งมีหลายวิธี แต่ละวิธีก็จะมีวิธีการทดสอบและอุปกรณ์แตกต่างกันไป เช่น การทดสอบความแข็งแบบ Brinell การทดสอบความแข็งแบบ Rockwell การทดสอบความแข็ง แบบ Vickers การทดสอบความแข็งแบบ Knoop และการทดสอบความแข็งด้วย Durometer ดัง แสดงในภาพที่ 2-26



ภาพที่ 2-26 เครื่องมือวัดความแข็งแบบ Durometer [36]

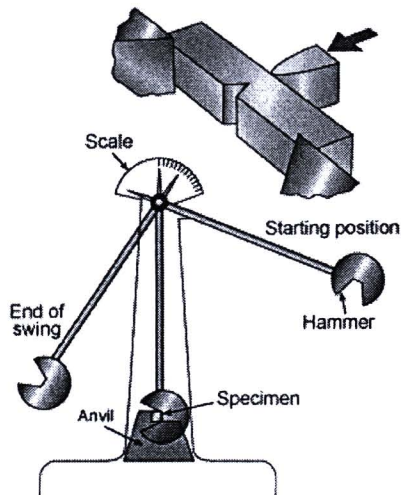
การทดสอบแรงกระแทก (Impact Testing) เป็นการวัดการส่งถ่ายของพลังงานที่จำเป็นในการแตกหักของวัสดุ แสดงถึงความสามารถในการรับแรงแบบฉับพลัน โดยวัดงานที่ใช้ในการแตกหักภายใต้การกระแทกอย่างฉับพลัน หาได้จากการปล่อยค้อนที่รั้น้ำหนักแน่นอนลงบนตัวอย่างทดสอบด้วยความสูงค่าหนึ่ง และคำนวณค่าการคูดซับพลังงานการกระแทกหรือความต้านทานการกระแทกของวัสดุจากผลต่างของระดับพลังงานศักย์ของค้อนก่อนและหลังการกระแทก ดังแสดงในสมการที่ (2-13)

$$E = mgr(\cos \beta - \cos \alpha) \quad (2-13)$$

เมื่อ

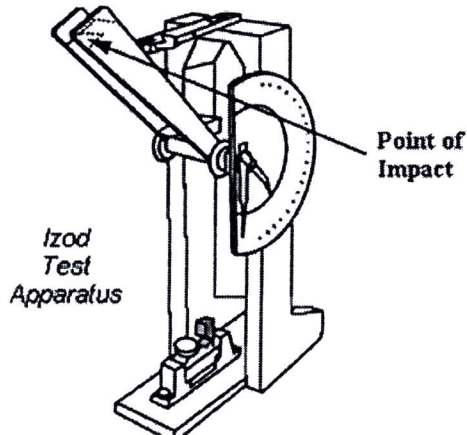
- E คือ พลังงานที่ได้จากการปล่อยค้อน
- m คือ น้ำหนักของค้อน
- g คือ อัตราเร่งจากแรงดึงดูดของโลก
- r คือ ความยาวแขนของค้อน
- α คือ มุมยกค้อนเริ่มต้นก่อนกระแทกของค้อน
- β คือ มุมยกค้อนสุดท้ายหลังกระแทก

การทดสอบแรงกระแทกที่นิยมใช้ได้แก่ การทดสอบแรงกระแทกแบบชาร์ปี (Charpy Impact Test) และแบบไอโซด (Izod Impact Test) การทดสอบแรงกระแทกแบบชาร์ปีชี้ช่องงานตัวอย่างจะต้องทำการบากที่ตรงกลางของช่องงานไว้ที่ด้านหนึ่ง การวางแผนทดสอบจะต้องวางแผนในแนวอนและให้ผู้ทรงเข้มร้อยากหันไปทางที่จะทำการกระแทก ดังแสดงในภาพที่ 2-27



ภาพที่ 2-27 เครื่องมือทดสอบแรงกระแทกแบบชาร์ป [33]

การทดสอบแรงกระแทกแบบ ไอซอด ใช้วิธีการทดสอบ เครื่องมือทดสอบ และการเตรียมชิ้นงาน ตัวอย่างคล้ายกันกับการทดสอบแรงกระแทกแบบชาร์ป แต่การวางแผนชิ้นงานตัวอย่างในการทดสอบ แรงกระแทกแบบ ไอซอด จะวางแผนชิ้นงานตัวอย่างในแนวตั้งและให้ฟังที่มีรอยบากหันไปทางที่จะทำการกระแทก ดังแสดงในภาพที่ 2-28



ภาพที่ 2-28 เครื่องมือทดสอบแรงกระแทกแบบ ไอซอด [33]

การทดสอบแรงดึง (Tensile Testing) เป็นการคึ่งชิ้นงานทดสอบให้ตอกอยู่ภายในให้สภาวะการยืดและทำให้เกิดการเสียรูป ในระหว่างที่เกิดการเสียรูป ถ้าอະตอนของชิ้นงานทดสอบจะเคลื่อนไปจากตำแหน่งเดิมไม่มาก เมื่อเอาระบบที่กระทำกับชิ้นงานทดสอบออก อะตอนของชิ้นงานทดสอบจะ

เคลื่อนที่กลับเข้าตำแหน่งเดิม ทำให้ชิ้นงานทดสอบกลับเข้าสู่รูปทรงเดิม จะเกิดการเสียรูปแบบคืนตัว (Elastic Deformation) แต่ถ้าอะตอมของชิ้นงานทดสอบเคลื่อนที่ออกไปจากตำแหน่งเดิมอย่างถาวรจากตำแหน่งเดิมและจะคงอยู่ที่ตำแหน่งใหม่นี้แม้ว่าจะเอาระบบที่กระทำกับชิ้นงานทดสอบออกไป จะเกิดการเสียรูปแบบถาวร (Plastic Deformation) ค่าที่ได้จากการทดสอบแรงดึง ได้แก่ ความเค้นแรงดึง (Tensile Stress) และความเครียด (Strain) ความเค้นแรงดึงเป็นปริมาณแรงที่ใช้ดึงชิ้นงานทดสอบเทียบกับพื้นที่หน้าตัดของชิ้นงานทดสอบ ดังแสดงในสมการที่ (2-14)

$$\sigma = \frac{F}{A} \quad (2-14)$$

เมื่อ

σ คือ ความเค้นแรงดึง (MPa)

F คือ แรงดึง (N)

A คือ พื้นที่หน้าตัด (m^2)

ความเครียดเป็นการบีบเนื้องจากแรงดึงทางเดียวที่กระทำกับชิ้นงานทดสอบ เป็นอัตราการเปลี่ยนแปลงความยาวของชิ้นงานทดสอบในทิศทางเดียวกันกับแรงดึงเทียบกับความยาวเริ่มต้นของชิ้นงานทดสอบ ผลต่างระหว่างระยะทดสอบเริ่มต้นกับระยะทดสอบสุดท้ายเรียกว่า ระยะยืด (Elongation) ดังนั้น ถ้านำระยะยืดหารด้วยความยาวเริ่มต้นของชิ้นงานทดสอบก็จะได้ความเครียด ดังแสดงในสมการที่ (2-15)

$$\epsilon = \frac{\Delta L}{L_0} \quad (2-15)$$

เมื่อ

ϵ คือ ความเครียด

ΔL คือ ผลต่างความยาวของชิ้นงานทดสอบ

L_0 คือ ความยาวเริ่มต้นของชิ้นงานทดสอบ

เมื่อสร้างกราฟความสัมพันธ์ระหว่างความเค้นกับความเครียด ช่วงบีดหยุ่นของชิ้นงานตัวอย่างจะใช้กฎของhook's (Hook's Law) ในการอธิบายพฤติกรรมและความเครียดที่เกิดขึ้นในช่วงนี้จะมีลักษณะ

เป็นสัดส่วนกับความเค้น ในกราฟความเค้นกับความเครียดซึ่งมีค่าที่นิยามเป็นช่วงเริ่มแรกของกราฟ จนถึงช่วงที่ค่ากำลังการยึดหยุ่น (Yield Strength) ซึ่งมีค่าจำกัดการยึดหยุ่นเป็นตำแหน่งซึ่งความเค้นเพิ่มขึ้นและเริ่มเข้าสู่การเสียรูปแบบถาวร ดังแสดงในภาพที่ 2-29 และจากกราฟเดียวกันนี้สามารถคำนวณหาค่ามอดูลัส (Modulus) จากความสัมพันธ์ของความเค้นกับความเครียด ดังแสดงในสมการที่ (2-16)

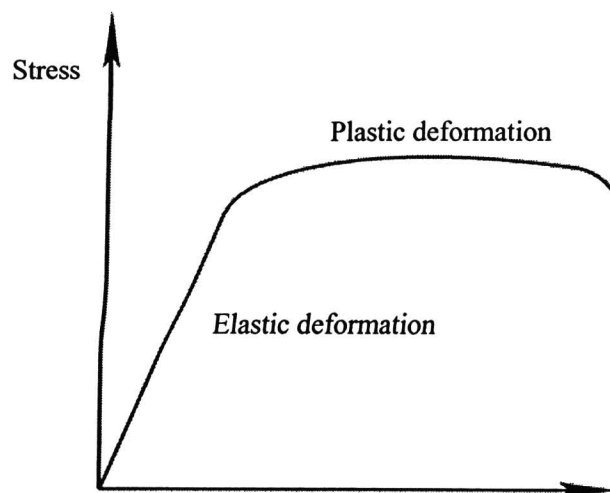
$$E = \frac{\sigma}{\epsilon} \quad (2-16)$$

เมื่อ

E คือ มอดูลัส (MPa)

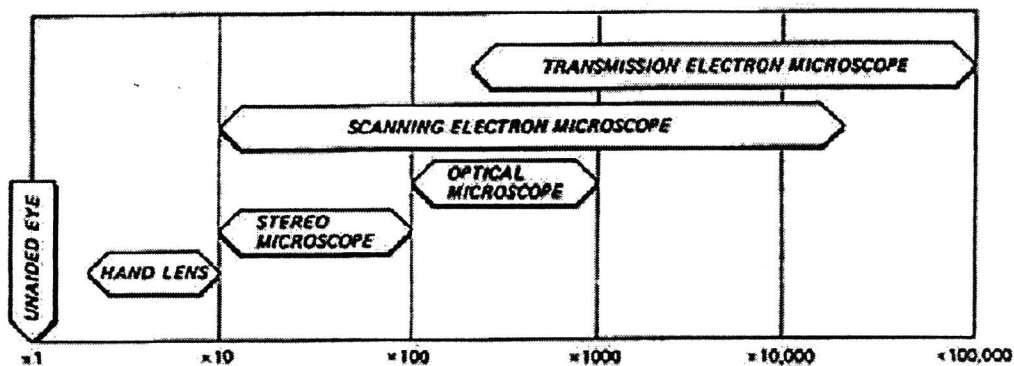
σ คือ ความเค้น (MPa)

ϵ คือ ความเครียด



ภาพที่ 2-29 ลักษณะการเปลี่ยนแปลงรูปร่างชิ้นงานทดสอบของกราฟความเค้นความเครียด

2.8.4 การตรวจสอบพื้นผิวการแตกหัก นิยมใช้กล้องกำลังขยายขนาดต่าง ๆ สำหรับการตรวจสอบชิ้นงาน เครื่องมือที่ใช้ในการตรวจสอบพื้นผิวการแตกหัก มีความละเอียดแตกต่างกันตาม กำลังขยายที่ใช้ ดังแสดงในภาพที่ 2-30

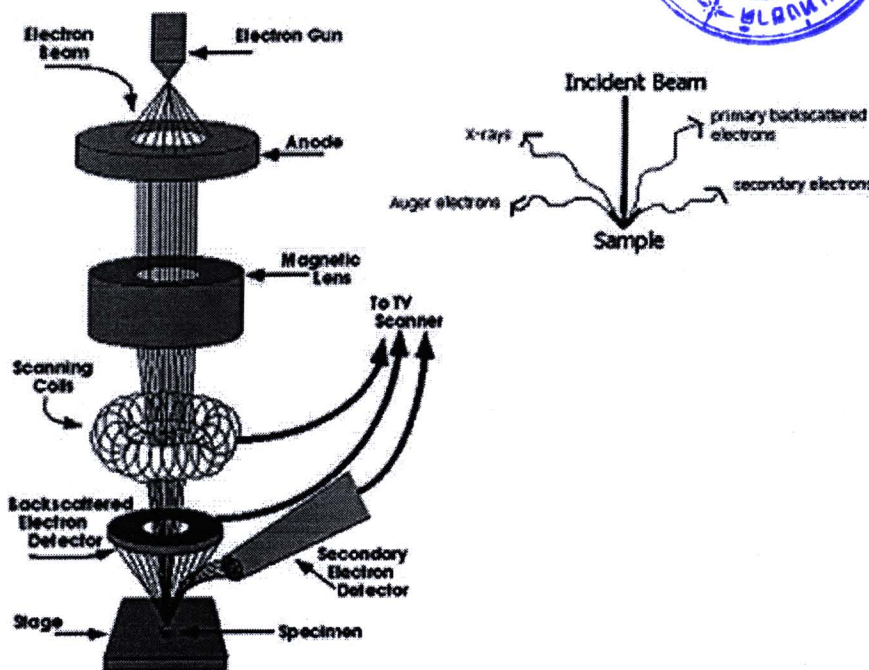


ภาพที่ 2-30 การเลือกใช้เครื่องมือสำหรับช่วงกำลังขยายต่าง ๆ [29]

ลักษณะพื้นผิวการแตกหักที่หยานหรือมีขนาดใหญ่จะสามารถมองเห็นได้ด้วยตาเปล่า ส่วนการตรวจสอบในระดับจุลภาคนิยมใช้กล้องจุลทรรศน์แบบใช้แสง (Optical Microscope, OM) และกล้องจุลทรรศน์อิเล็กตรอนแบบส่อง粒光 (Scanning Electron Microscope, SEM) ที่มีกำลังขยายสูง เพื่อตรวจคุณภาพพื้นผิวการแตกหัก โดยสามารถตรวจสอบประเภทของการแตกหักจากลักษณะรอยแตกในระดับจุลภาคและเชื่อมโยงกับโครงสร้างทางจุลภาคของวัสดุ แต่ถ้าต้องการความละเอียดในการวิเคราะห์มากขึ้น เช่น การเรียงตัวของโครงสร้างผลึกขนาดของโครงสร้างผลึก นิยมใช้กล้องอิเล็กตรอนแบบส่องผ่าน (Transmission Electron Microscope, TEM)

การใช้กล้องจุลทรรศน์อิเล็กตรอนแบบส่อง粒光ตรวจสอบพื้นผิวการแตกหัก โดยชิ้นงานที่จะตรวจสอบควรมีความสะอาดและยึดเข้ากับตัวจับชิ้นงานอย่างแน่นหนา เพื่อป้องกันชิ้นงานหลุดระหว่างการตรวจสอบในระบบสุญญากาศ ในบางกรณีอาจจำต้องมีการหมนชิ้นงานระหว่างการตรวจสอบ ชิ้นงานทดสอบต้องปราศจากความชื้น เนื่องจากเป็นการทดสอบในระบบสุญญากาศ และวัสดุที่จะตรวจสอบต้องมีสภาพการนำไฟฟ้า หากวัสดุที่นำมาตรวจสอบไม่สามารถนำไฟฟ้าได้ จะต้องทำการเคลือบผิวด้วยวัสดุนำไฟฟ้า (Sputtering) โดยนิยมเคลือบผิวด้วยทอง

หลักการตรวจสอบพื้นผิวการแตกหักด้วยกล้องจุลทรรศน์อิเล็กตรอนแบบส่อง粒光 จะใช้อิเล็กตรอนเป็นตัวที่ทำให้เกิดการสร้างเป็นภาพขึ้นมา ดังแสดงในภาพที่ 2-31



ภาพที่ 2-31 หลักการทำงานของกล้องจุลทรรศน์อิเล็กตรอนแบบส่องราย

ที่มา : Iowa State University SEM Homepage

Electron Gun ทำหน้าที่ผลิตลำอิเล็กตรอน (Electron Beam) ออกมานะและลำอิเล็กตรอนจะเดินทางผ่าน Electromagnetic Field และ Electromagnetic Lenses ซึ่งทำหน้าที่บีบให้ลำอิเล็กตรอนถูกไฟกัสและตัดกระหบบนผิวของชิ้นงานทดสอบ หลังจากนั้นจะเกิดการกระเจิงของลำอิเล็กตรอนทำให้เกิด X-Ray, Primary Backscattered Electron, Secondary Electron และ Auger Electron ตามลำดับ ในระบบสัญญาการจะมีอุปกรณ์จับสัญญาณ (Detector) ต่าง ๆ เพื่อแปลงเป็นข้อมูลหรือภาพ [37]

2.9 งานวิจัยเกี่ยวกับวิทยานิพนธ์

Ozaki, et al. [15] ทำการทดลองการรีไซเคิลเส้นใยฟินอลด้วยเมทานอลที่สภาวะเหนือวิกฤต (Supercritical) ในสภาวะบรรยายกาศของก้าชในไตรเจน พบร่ว่าได้ผลผลิตร้อยละ 98 ที่อุณหภูมิ 420 องศาเซลเซียสและได้ผลิตภัณฑ์เป็น ฟินอล *o*-methyphenol, *p*-methylphenol, 2,4-dimethylphenol, 2,6-dimethylphenol และ 2,4,6-trimethylphenol

Tagaya, et al. [16] ทำการทดลอง จำลองการรีไซเคิลฟินอลิกเรซิน ใช้สารเคมี 2 ชนิด ได้แก่ bis(*p*-hydroxyphenyl)methane และ bis(*o*-hydroxyphenyl)methane โดยรีไซเคิลด้วยน้ำที่สภาวะกึ่งวิกฤต (Subcritical) และสภาวะเหนือวิกฤตในสภาวะบรรยายกาศของก้าชอาร์กอน อุณหภูมิ

523-703 องศาเคลวิน เวลา 0.25-1.5 ชั่วโมง การรีไซเคิล bis(*p*-hydroxyphenyl)methane และ bis(*o*-hydroxyphenyl)methane ได้สารผลิตภัณฑ์ทั้งหมด 7 ชนิด ได้แก่ ฟีโนล, *o*-cresol, *p*-cresol, 2,4-dimethylphenol, *p*-dihydroxybenzene, *p*-hydroxybenzaldehyde และ Xanthene พบว่าผลของ การเติม Hydrogen donor acid salt และ Alkali salt ได้ผลผลิตร้อยละเพิ่มขึ้น

Weirong, et al. [13] ทำการทดลองการรีไซเคิลอีพ็อกซี่เรซินชนิด Bisphenol F ที่ใช้สาร เชื่อมขาวชนิด 1,8-*p*-menthanediamine รีไซเคิลด้วยกรดไนตริกความเข้มข้น 4 โมล อุณหภูมิ 80 องศาเซลเซียส แล้วขึ้นรูปเรซินจากการรีไซเคิล โดยผสมกับอีพ็อกซี่เรซินชนิด Bisphenol F และใช้ Phthalic anhydride เป็นสารเชื่อมขาว การรีไซเคิลอีพ็อกซี่เรซินใช้เวลา 150 ชั่วโมง พบว่าอุณหภูมิ คล้ายแก้วของเรซินจากการรีไซเคิลผสม Bisphenol F สูงกว่าอีพ็อกซี่เรซินและเพิ่มขึ้นตาม อัตราส่วนของรีไซเคิลเรซิน เรซินจากการรีไซเคิลผสม Bisphenol F มีค่าการต้านแรงดัดโค้ง (Flexural Strength) และแรงดึง (Tensile Strength) ได้ดีกว่าอีพ็อกซี่เรซินและมีแนวโน้มเพิ่มขึ้นตาม อัตราส่วนของรีไซเคิลเรซิน

Tagaya, et al. [17] ทำการทดลองการรีไซเคิลอีพ็อกซี่เรซินโดยใช้น้ำเป็นตัวทำละลาย ร่วมกับ Sodium chloride ที่สภาวะกึ่งวิกฤตและสภาวะเหนือวิกฤต ที่อุณหภูมิ 430 องศาเซลเซียส เวลา 3 ชั่วโมง ได้ผลิตภัณฑ์ 5 ชนิด ได้แก่ ฟีโนล, *o*-cresol, *p*-cresol, 2,6-dimethylphenol, และ 2,5-dimethylphenol

Sato, et al. [18] ทำการทดลองรีไซเคิลอีพ็อกซี่เรซินชนิด Bisphenol A โดยใช้ตัวทำละลาย 2 ชนิด ได้แก่ Tetralin และ Decalin ร่วมกับการเติมตัวเร่งปฏิกิริยา 3 ชนิด ได้แก่ Calcium carbonate, Sodium carbonate และเหล็กออกไซด์ผสมกันในอัตราส่วน 1:1 อุณหภูมิ 430-450 องศาเซลเซียส เวลา 1 ชั่วโมง ในสภาวะบรรยายกาศของก้าชในโตรเจน ได้ผลิตภัณฑ์ 3 ชนิด ได้แก่ ฟีโนล, Isopropylphenol และ Bisphenol A ในส่วนของการใช้ตัวทำละลาย Decalin และตัวเร่งปฏิกิริยา Sodium carbonate อุณหภูมิ 380 องศาเซลเซียส ได้ผลิตภัณฑ์ Bisphenol A มากที่สุด และตัวทำละลาย Tetralin ตัวเร่งปฏิกิริยาเหล็กออกไซด์ผสมกัน อุณหภูมิ 440 องศาเซลเซียส ได้ผลิตภัณฑ์ ฟีโนลและ Isopropylphenol มากที่สุด

Dang, et al. [14] ทดสอบสมบัติทางความร้อนและสมบัติเชิงกลของเรซินจากการรีไซเคิล ผสมอีพ็อกซี่เรซินชนิด Bisphenol F รวมทั้งศึกษาการเสื่อมสภาพของเส้นใยแก้ว ในการทดลองเป็น การรีไซเคิลใช้อีพ็อกซี่เรซินชนิด Bisphenol F โดยที่เลือกใช้สารเชื่อมขาวชนิด 4,4'-diamino diphenyl methane ผสมเส้นใยแก้วชนิด E-Glass Fiber รีไซเคิลด้วยกรดไนตริกความเข้มข้น 4 โมล อุณหภูมิ 80 องศาเซลเซียส แล้วขึ้นรูปเรซินจากการรีไซเคิลผสม Bisphenol F และใช้ Phthalic anhydride เป็นสารเชื่อมขาว การรีไซเคิลอีพ็อกซี่เรซินใช้เวลา 400 ชั่วโมง จาก ผลการทดลอง

พบว่า อุณหภูมิค่าอั้นได้รับของเรซินจากการรีไซเคิลผสม Bisphenol F สูงกว่าอีพ็อกซี่เรซินและมีแนวโน้มเพิ่มขึ้นตามอัตราส่วนของเรซินจากการรีไซเคิล เรซินจากการรีไซเคิลผสม Bisphenol F มีค่าการด้านแรงดันโค้งและค่ามอดูลัสโค้ง (Flexural modulus) สูงกว่าอีพ็อกซี่เรซินเมื่ออัตราส่วนของเรซินจากการรีไซเคิลลดลง และจากการทดลองการเสื่อมสภาพของเส้นใยแก้วพบว่า เส้นใยแก้วเปล่าที่ผ่านกระบวนการรีไซเคิลมีน้ำหนักลดลงมากกว่าเส้นใยแก้วจากการรีไซเคิล